

**Polytech'
Orléans**

Techniques numériques en radioastronomie

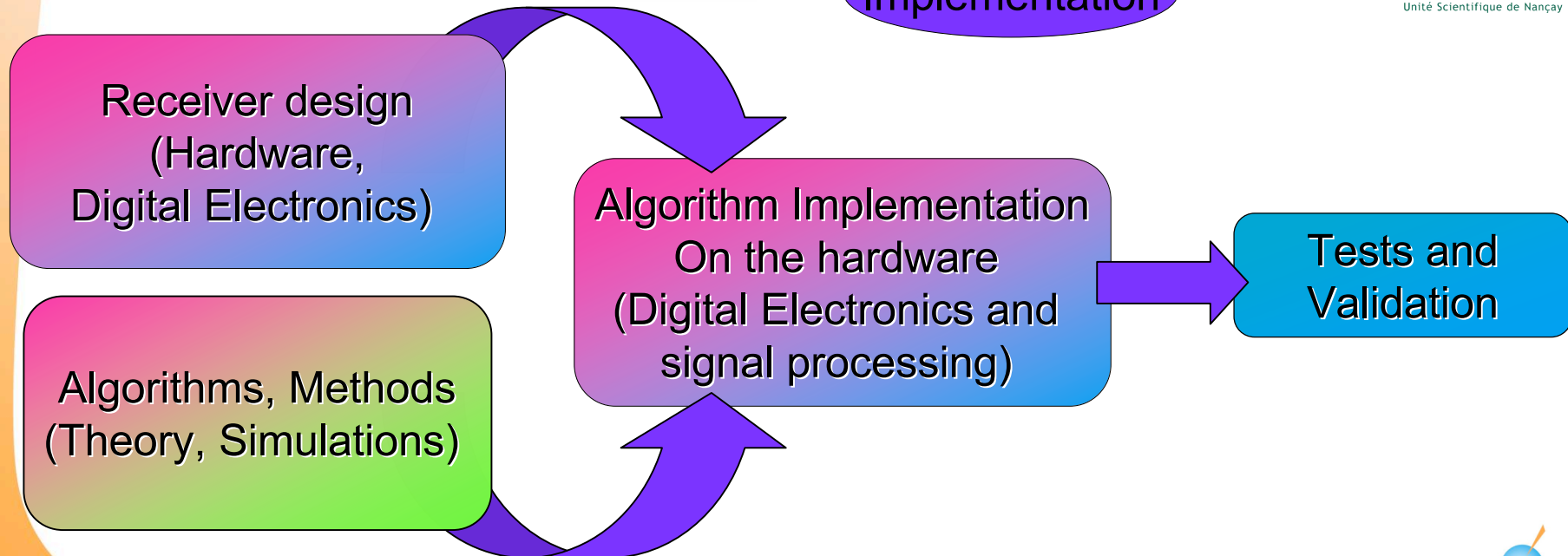
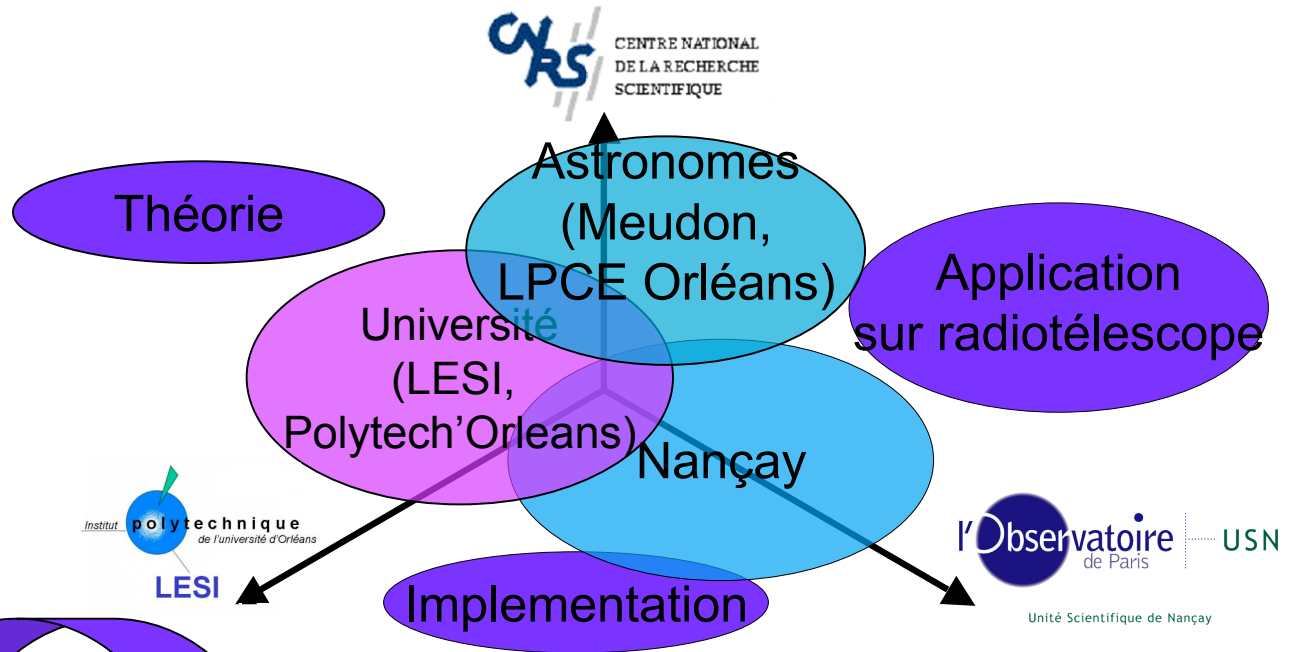
Dr. Rodolphe Weber



PART A : Techniques de lutte contre les interférences radioélectriques (RFI mitigation)

1. RFI Mitigation Group
2. Signal utile/RFI
3. RFI/méthodes
4. Méthodes/calculateur

RFI Mitigation Group



Le signal utile



Onde
électromagnétique

Domaine radio :
3 kHz à 300 GHz

Radiotélescope décimétrique de Nançay (1 – 3 GHz)

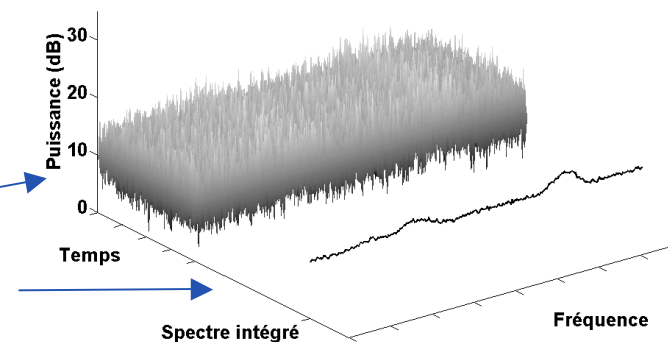


Signal observé :

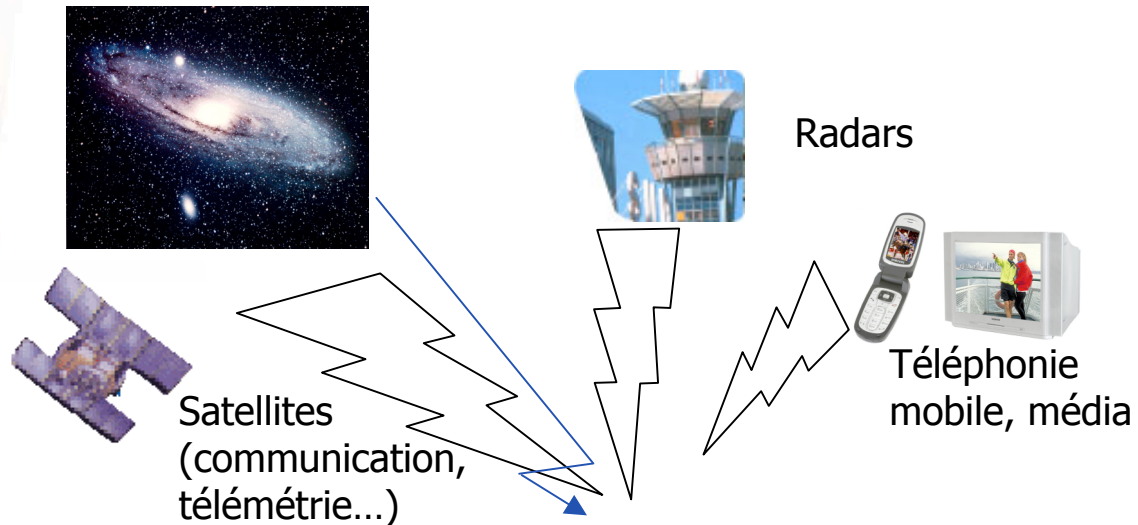
$$s(t) = u_{\text{sys}}(t) + u_{\text{source}}(t)$$

Gaussien

(Localement)
Stationnaire

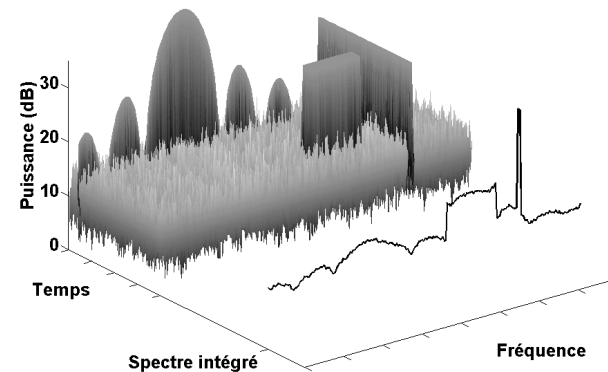


L'interférence (RFI)



Signal observé :

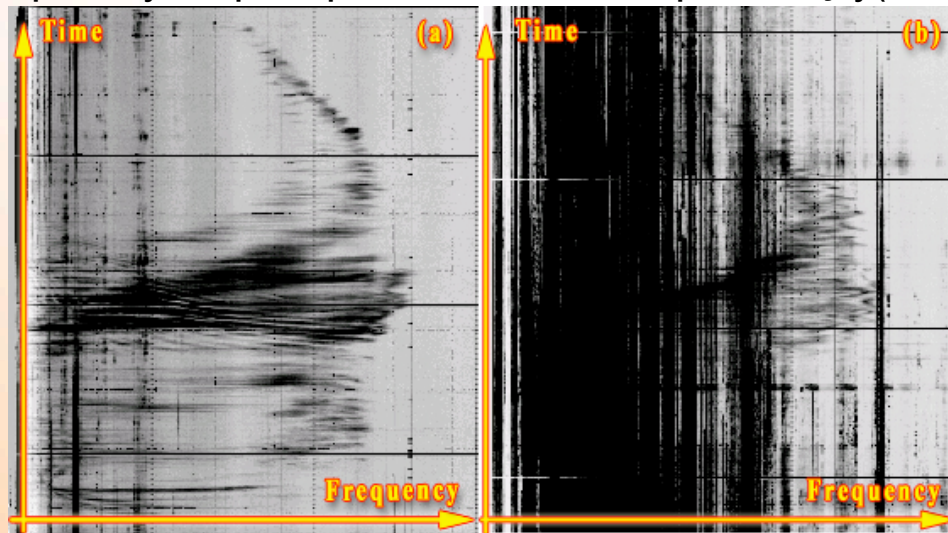
$$\begin{aligned} s(t) &= u_{\text{sys}}(t) + u_{\text{source}}(t) + rfi(t) \\ &= u(t) + rfi(t) \end{aligned}$$



En bande décamétrique

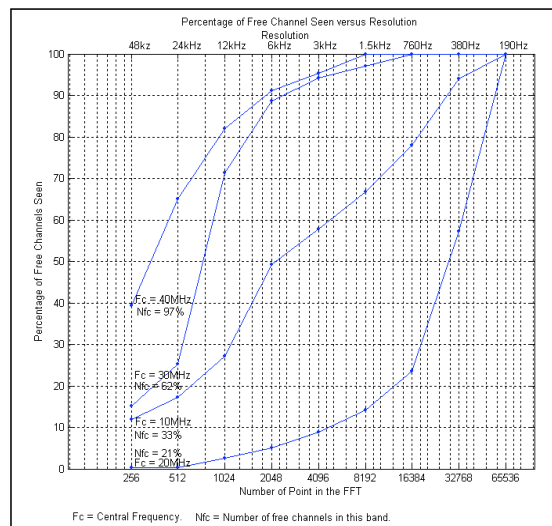


Spectre dynamique acquis au réseau décamétrique de Nançay (10 MHz – 40 MHz)



- bandes très encombrées
- brouilleurs puissants
- effets ionosphériques
- le bruit du ciel élevé
- sources fortes et non statio.

Pourcentage des canaux disponibles en fonction de la résolution fréquentielle (thèse Vincent Clerc 2003)



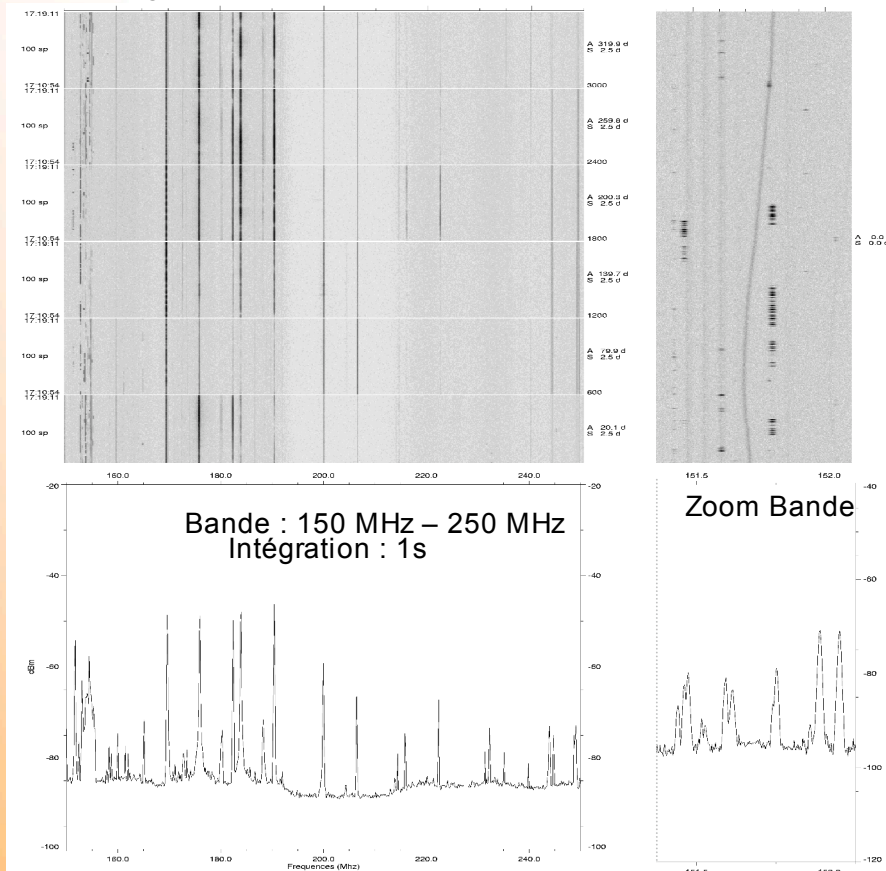
Un taux de disponibilité de 90% nécessiterait dans la bande :

- 35-45 MHz, une résolution de 6.25 kHz.
- 25-35 MHz, une résolution de 1.6 kHz.
- 15-25 MHz, une résolution de 190 Hz.
- 5-15 MHz, une résolution de 6.25 kHz.

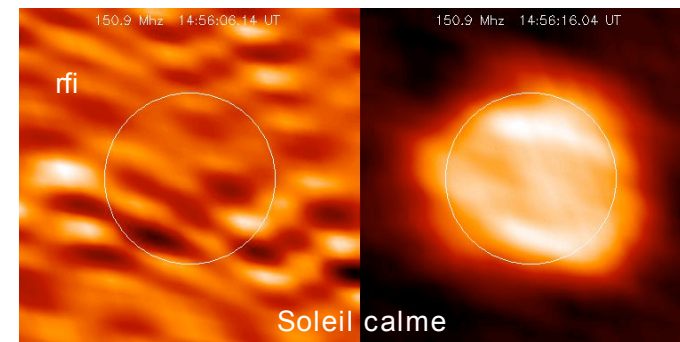
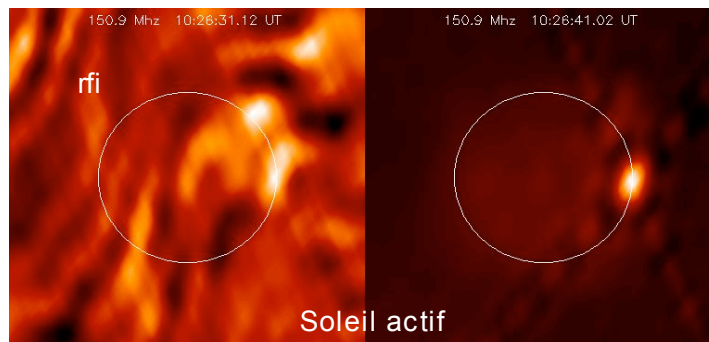
En bande métrique



Spectre dynamique acquis avec l'antenne de surveillance de Nançay (NSA)

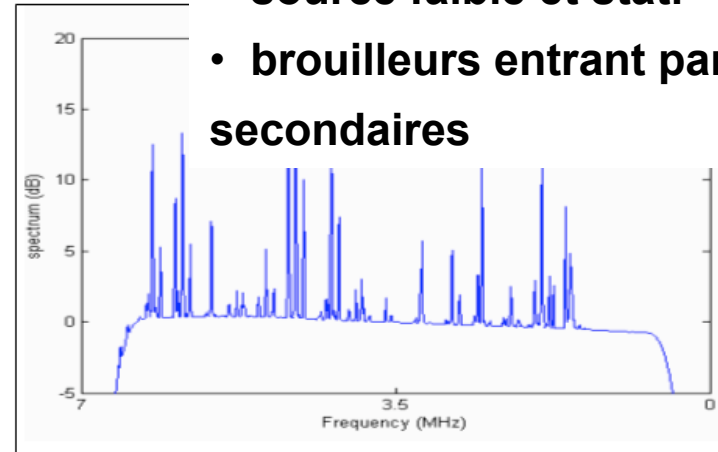
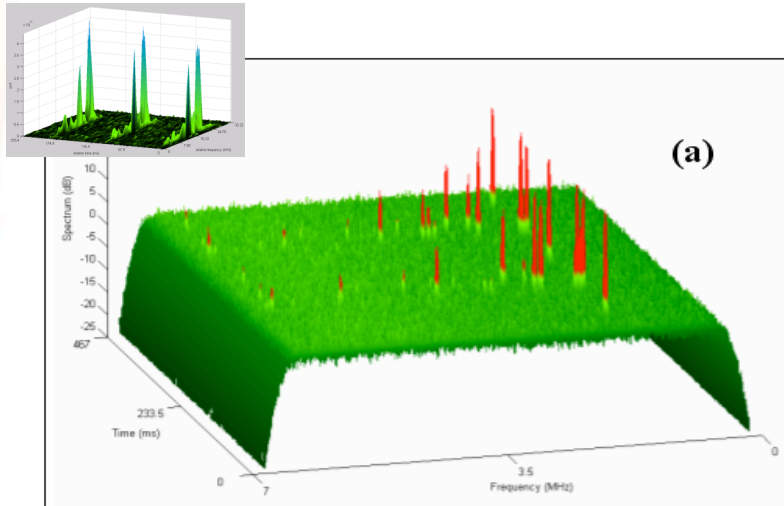


- source forte et non stat. (Soleil)
- brouilleurs puissants TV ($> 80\text{dB}$ / soleil)
- brouilleurs moyens
 - $<40\text{dB}$ / soleil
 - plutôt $< 300\text{MHz}$
 - largeur : 5-20 kHz
- difficulté de trouver des bandes de 1MHz propres

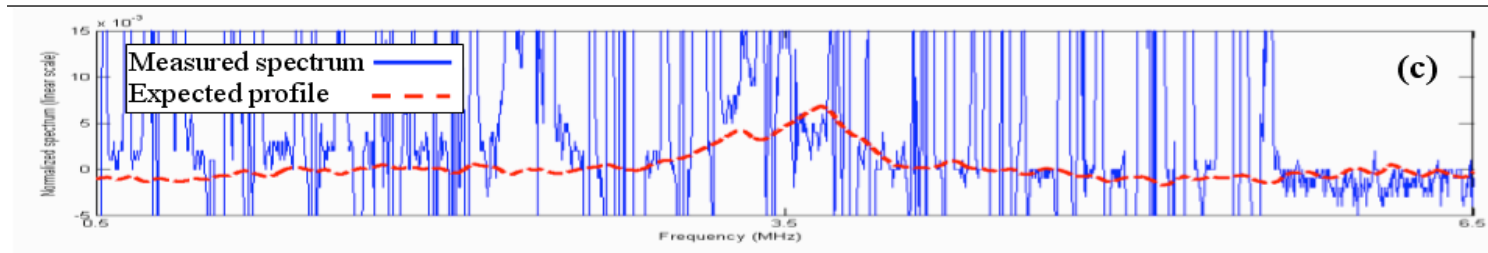


Intégration 10s

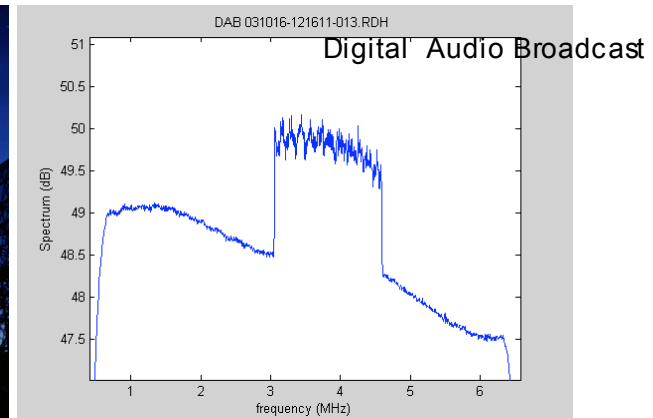
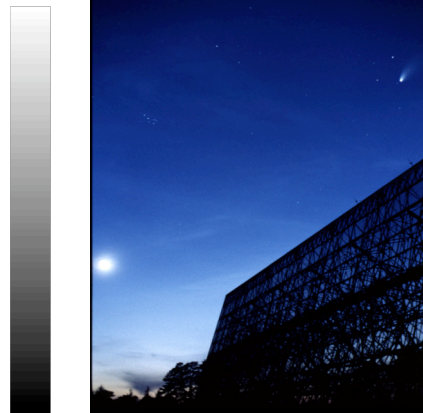
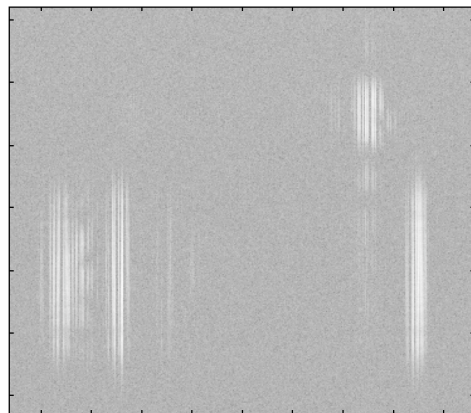
En bande décimétrique



- source faible et stat.
- brouilleurs entrant par les lobes secondaires



RADAR



Le couple (RFI, méthode)

- Les différentes classes de méthode

- Interférences intermittentes

- Détection

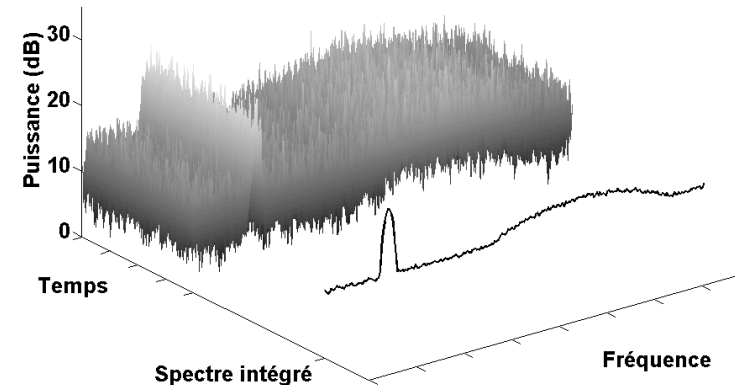
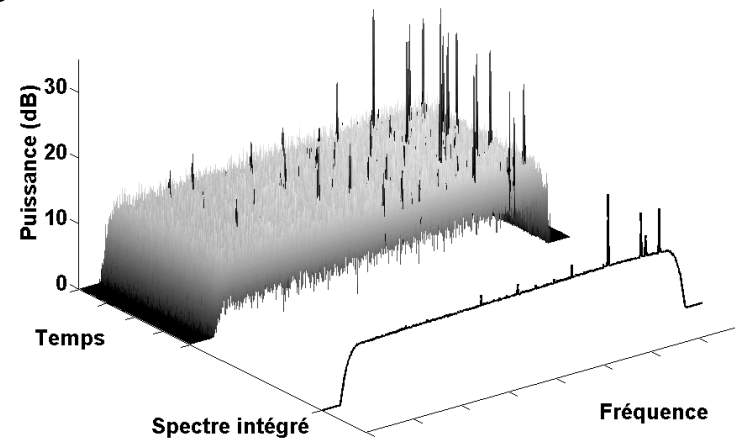
→ *Blanking*

- Interférences continues

- Réduction/Annulation

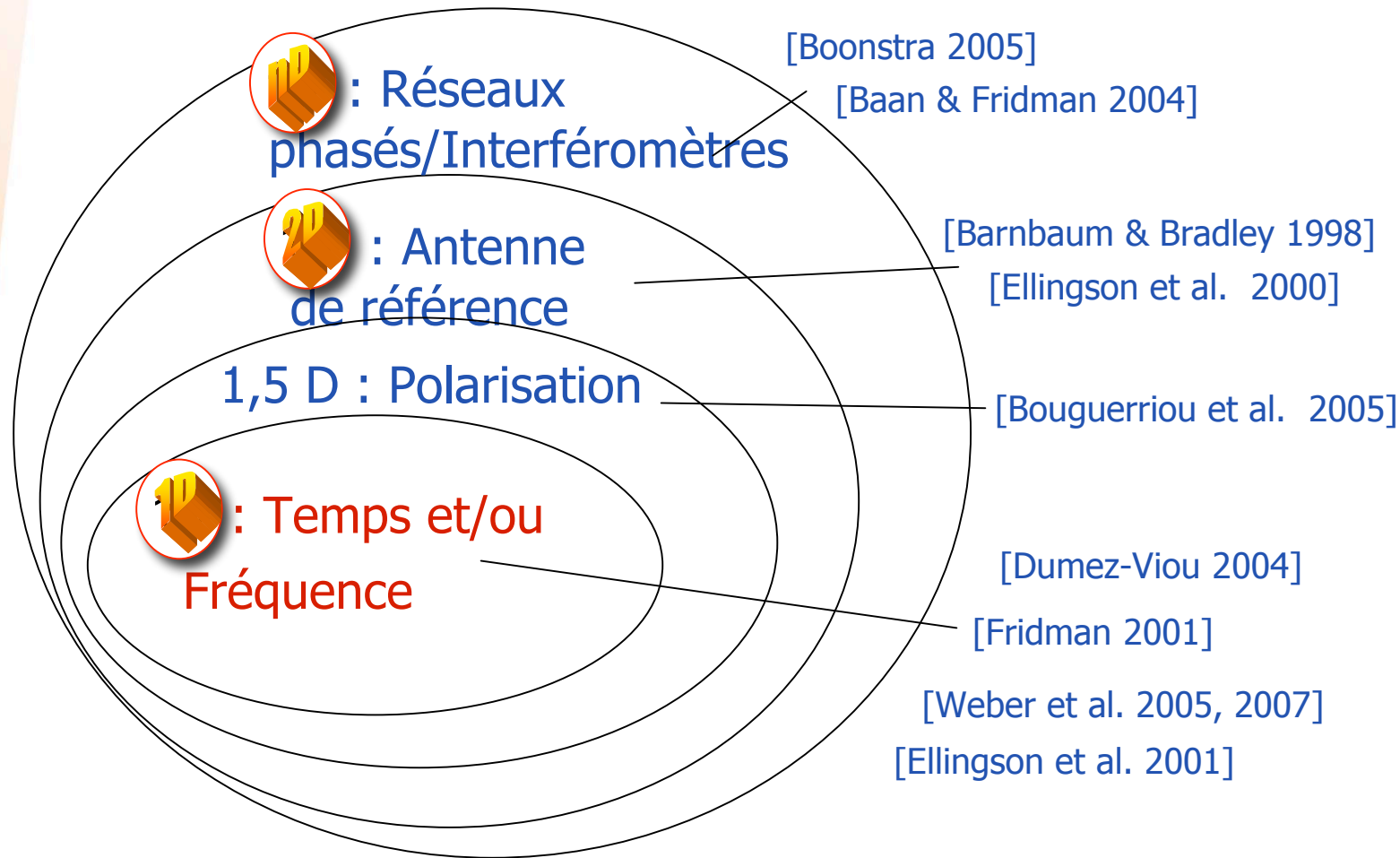
- Estimation

- Protection juridique

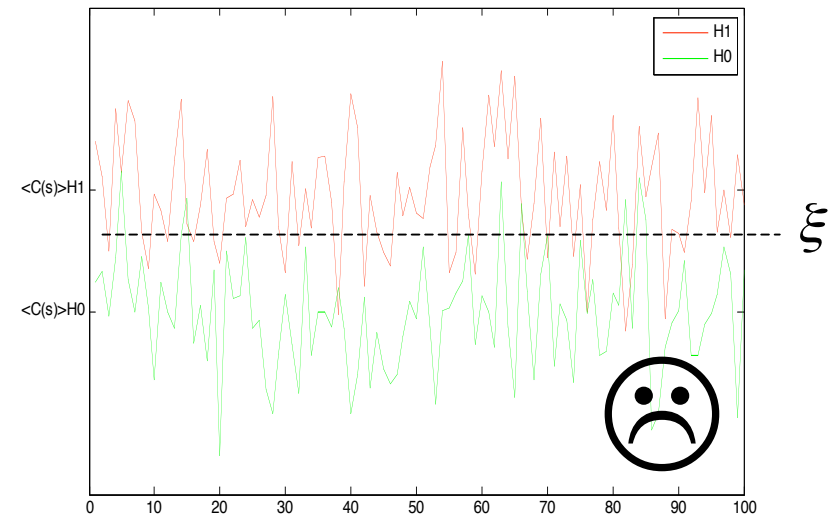
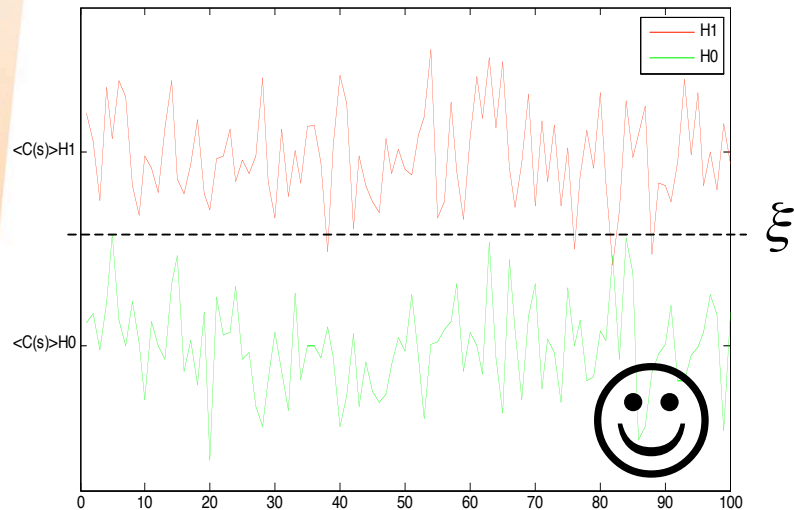
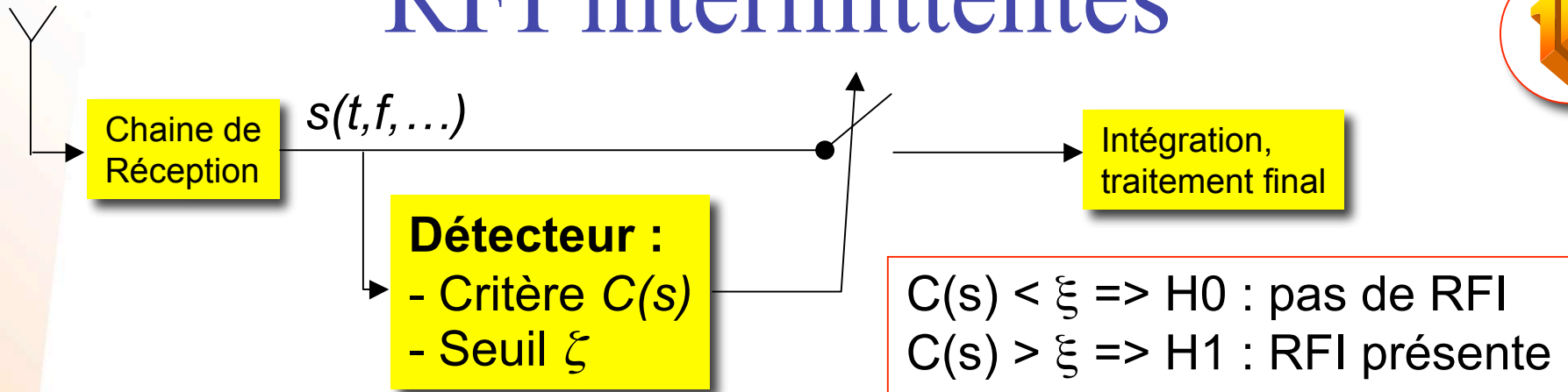


Hiérarchisation des méthodes

- Quelles propriétés peut-on utiliser pour différencier le signal utile du brouilleur radio électrique ?



RFI intermittentes



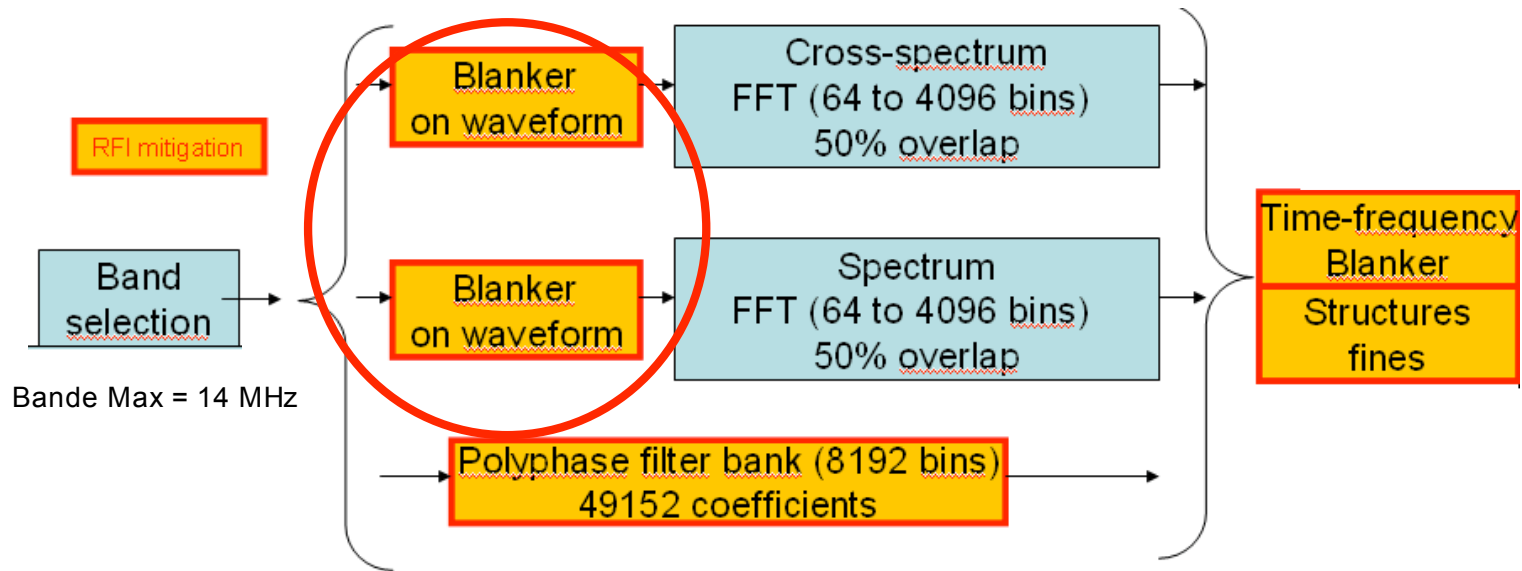
Performances dépendent de :

- $C(s)$,
- taille de la fenêtre d'observation (\approx durée RFI),
- du rapport RFI sur bruit (INR),
- connaissance de H_0 (si non stationnaire)

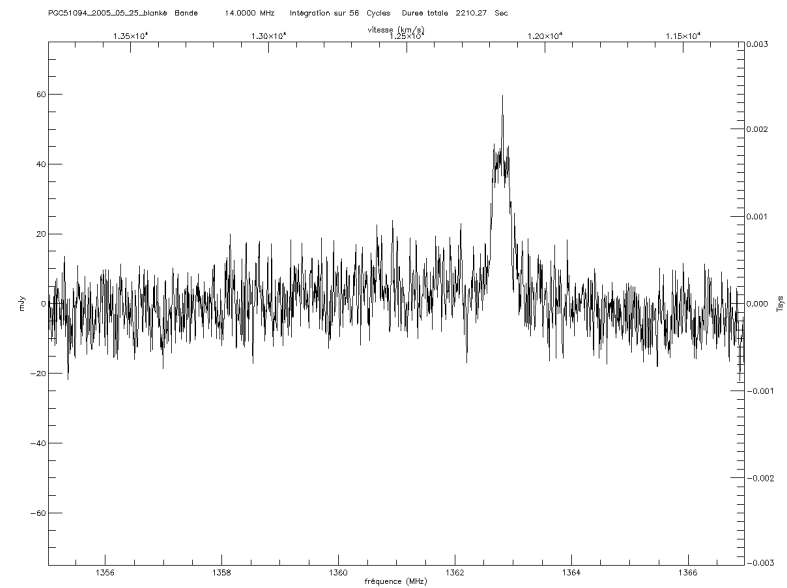
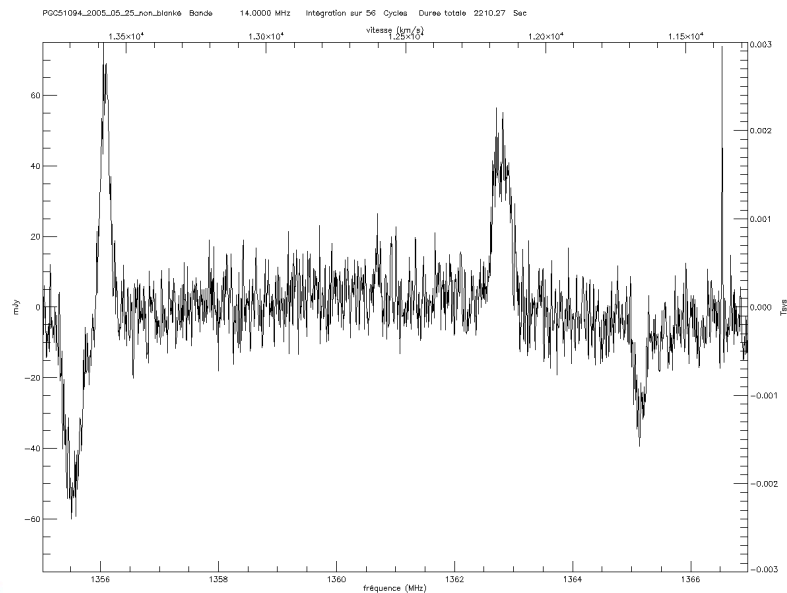
Détecteur temporel



• Le Blanking temps réel en puissance (Thèse C. Dumez-viou)



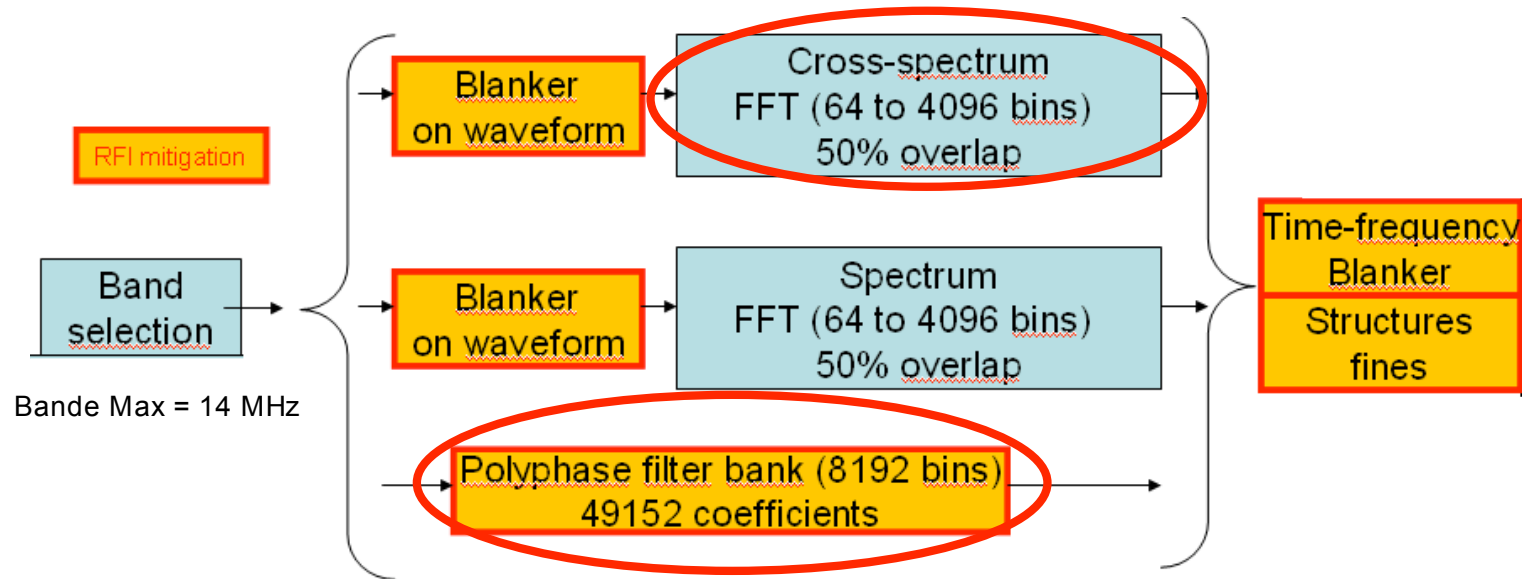
RT : Radar



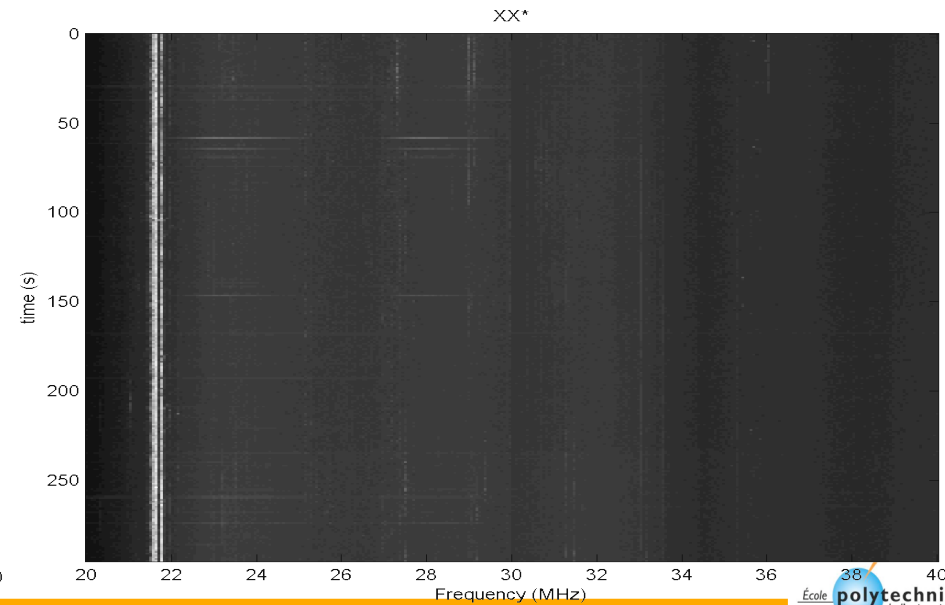
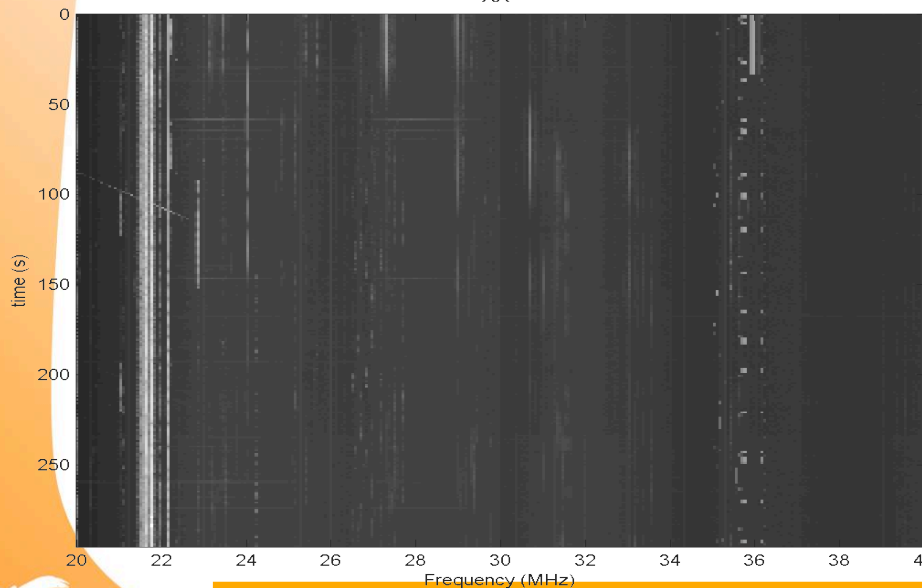
Détecteur fréquentiel



- Le Blanking temps réel en puissance (Thèse C. Dumez-viou)



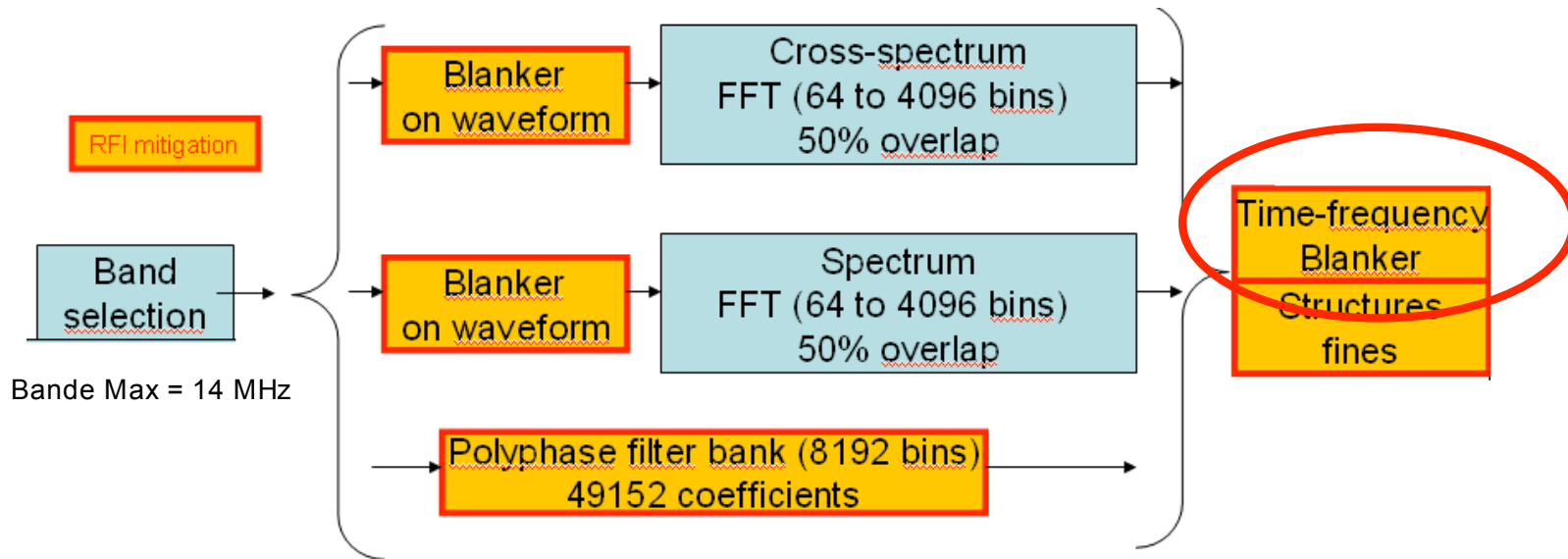
DAM : modulations diverses xx*



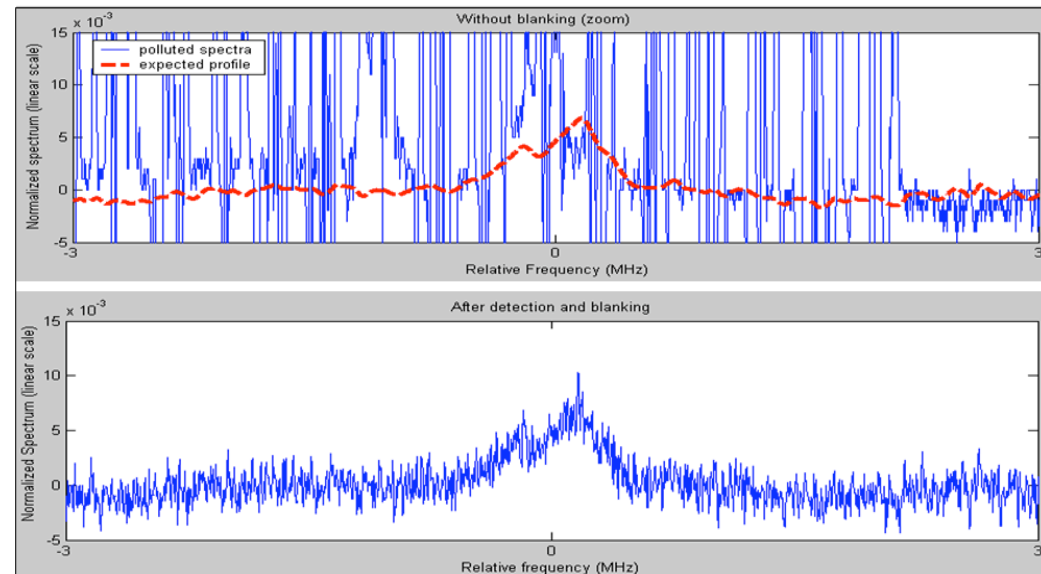
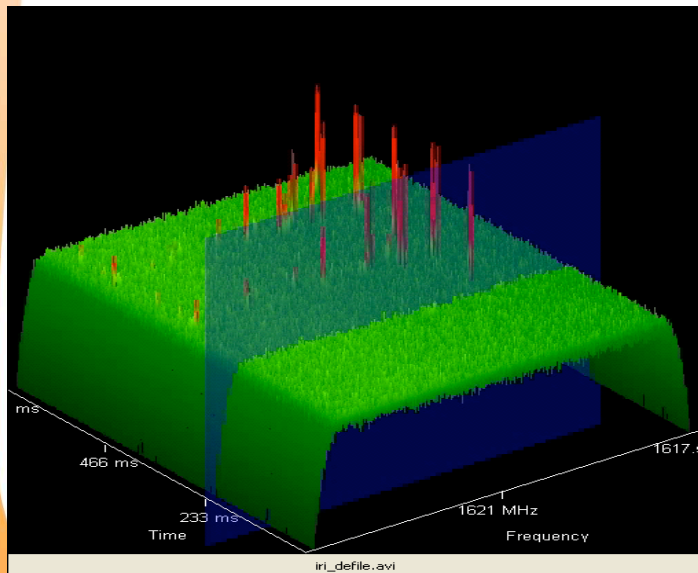
Détecteur T-F



- Le Blanking temps réel en puissance (Thèse C. Dumez-viou)



RT : Satellites Iridium



Quel critère pour le détecteur ?



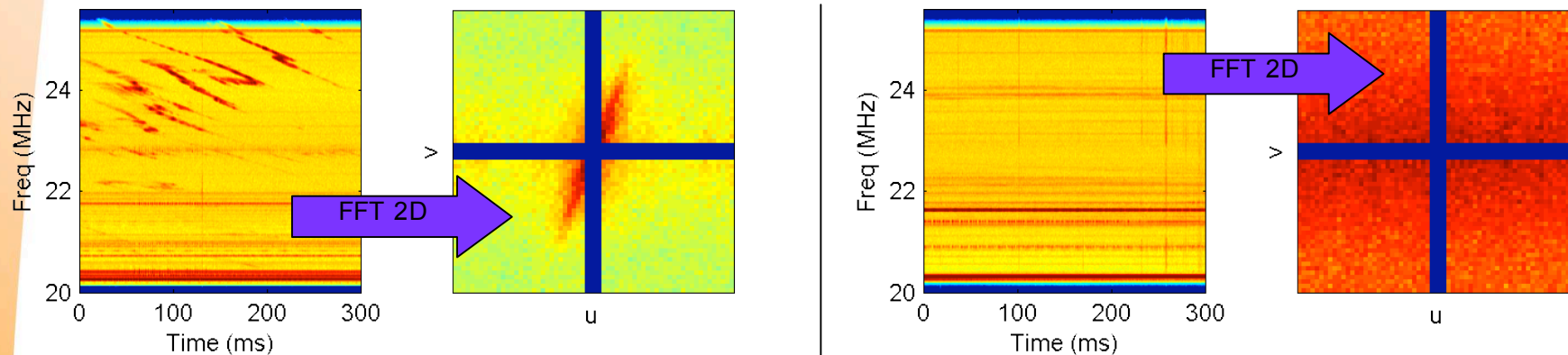
•Le critère de puissance (Thèse C. Dumez-viou)

- Simple à mettre en œuvre
- problème du choix du seuil (calibration, non-stationnarité...)

$$\text{threshold} = 2 \frac{\hat{\mu} \chi^2(v)}{v} P^{-1}\left(\frac{v}{2}, 1 - \alpha\right)$$

Méthode d'estimation robuste
qui dépend du contexte RFI

•Exemple d'un critère topologique T-F (Thèse C. Dumez-viou)



•Exemple d'un critère cyclostationnaire (Thèse S. Bretteil)

Hyp: RFI possède une fonction d'autocorrélation périodique sur t

$$R_{rfi}(t + T, \tau) = R_{rfi}(t, \tau)$$

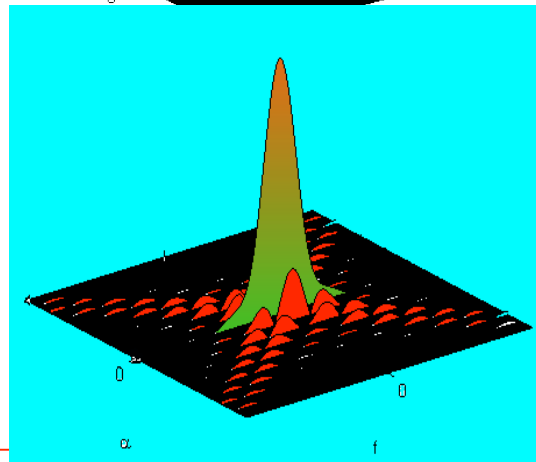
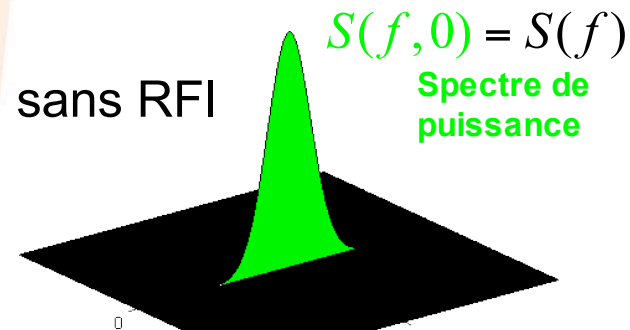
Détecteur cyclostationnaire



• Blanking par détecteur cyclostationnaire (Thèse S. Bretteil)

Spectre cyclique :

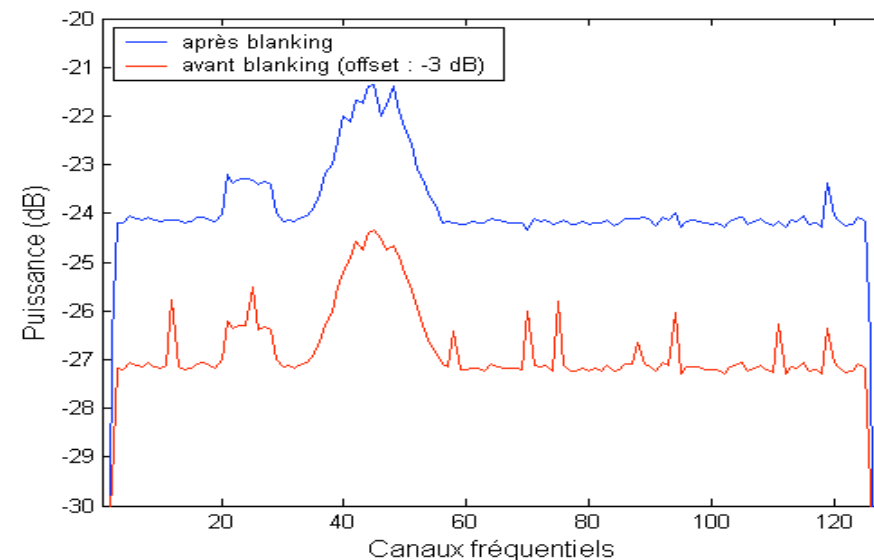
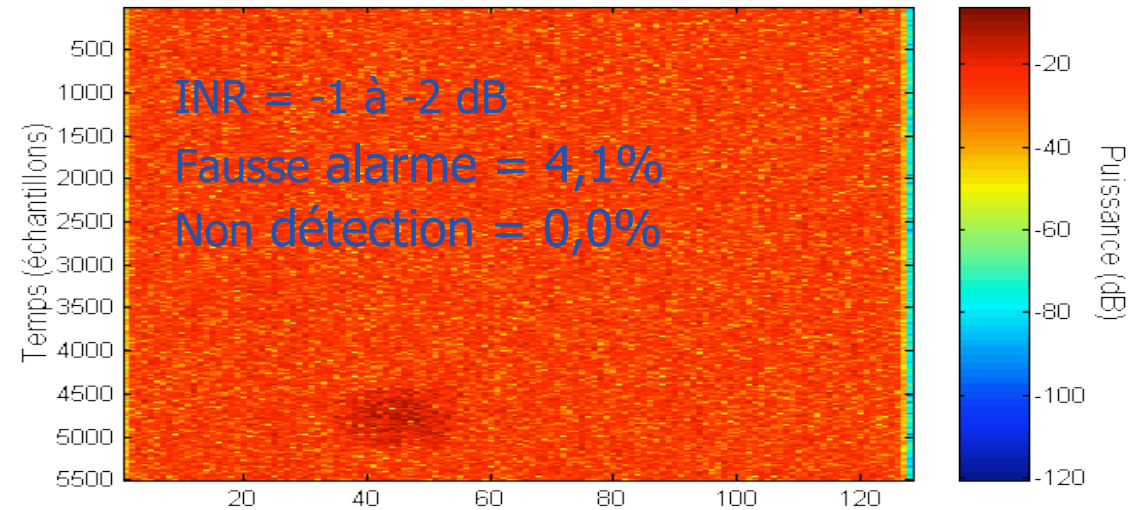
$$S(f, \alpha) = TF(R(t, \tau))$$



Conclusions

- Insensible au facteur de puissance
- Détecte les brouilleurs faibles

Exemple : —



Traitement de RFI continues



- Annulation par méthode cyclostationnaire (Thèse S.Bretteil)

$$R(t, \tau) = R_{utile}(\tau) + R_{rfi}(t, \tau)$$

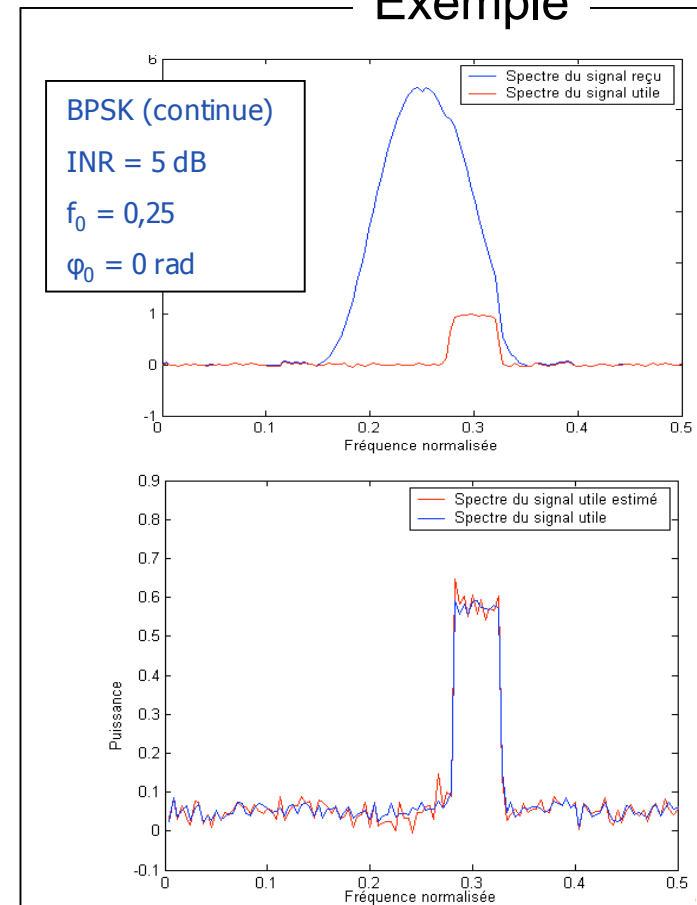
pour certains couples (t, τ)

➔ $\hat{R}_{utile}(\tau) = \int_{t / R_{rfi}(t, \tau) = 0} R(t, \tau) dt$

Conclusions

- Interférences continues
- Possibilité d'intégration forte
 - Parasites faibles
 - Traitement en temps différé
- Conditions d'observations strictes
- Perte d'information
- Innocuité sur le signal utile

Exemple



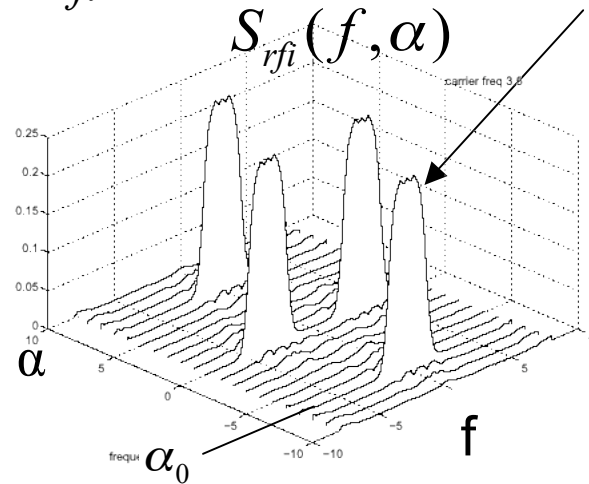
Estimation de RFI



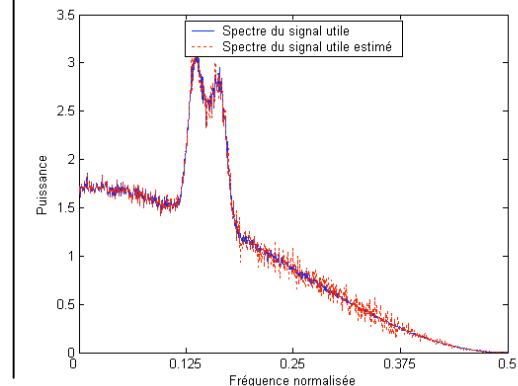
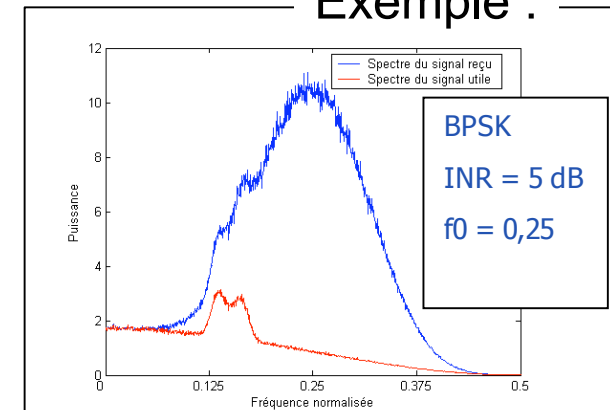
• Estimation par méthode cyclostationnaire (Thèse S. Bretteil)

$$\hat{S}_{utile}(f) = S(f) - \hat{S}_{rfi}(f)$$
$$\hat{S}_{rfi}(f) \approx S(f, \alpha_0)$$

Redondance d'information
dans le spectre cyclique :



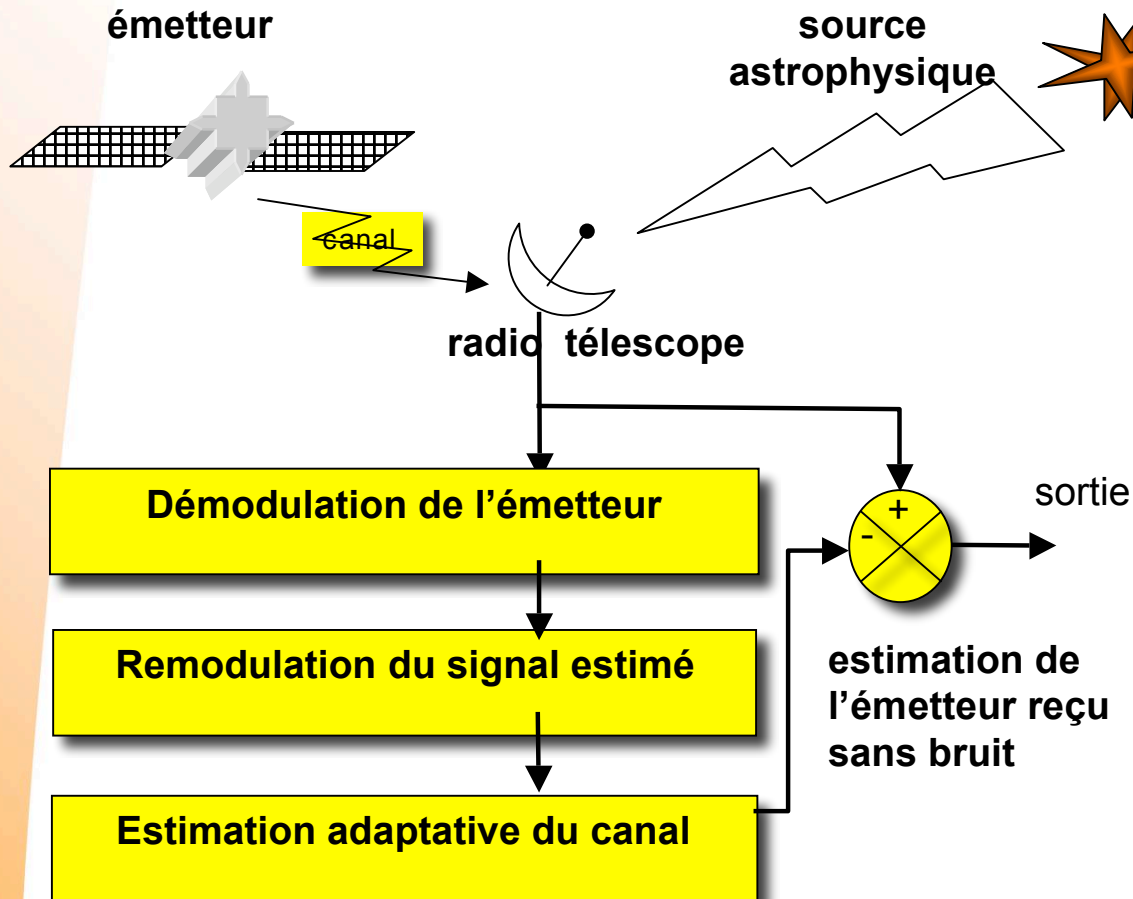
Exemple : —



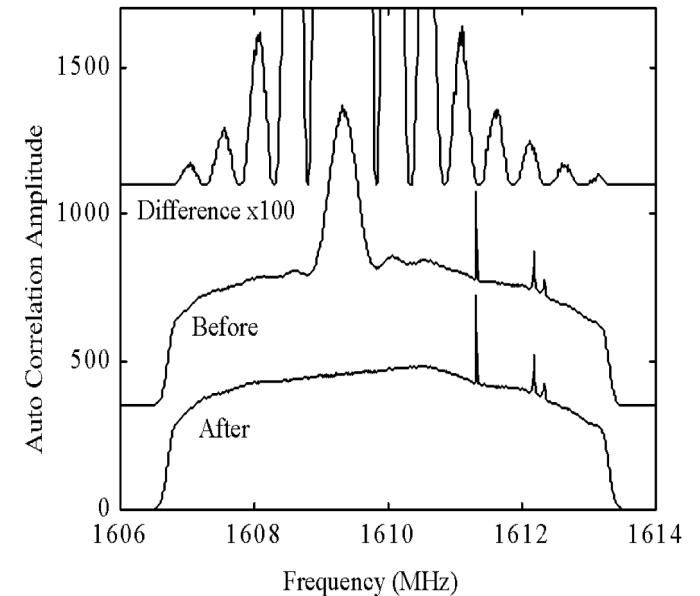
Conclusions

- Interférences continues
- Possibilité d'intégration forte
 - Parasites faibles
 - Traitement en temps différé
- Résultats encourageants
- Conditions d'observations moins strictes
- Dégradation de la sensibilité de la mesure

Estimation par démodulation

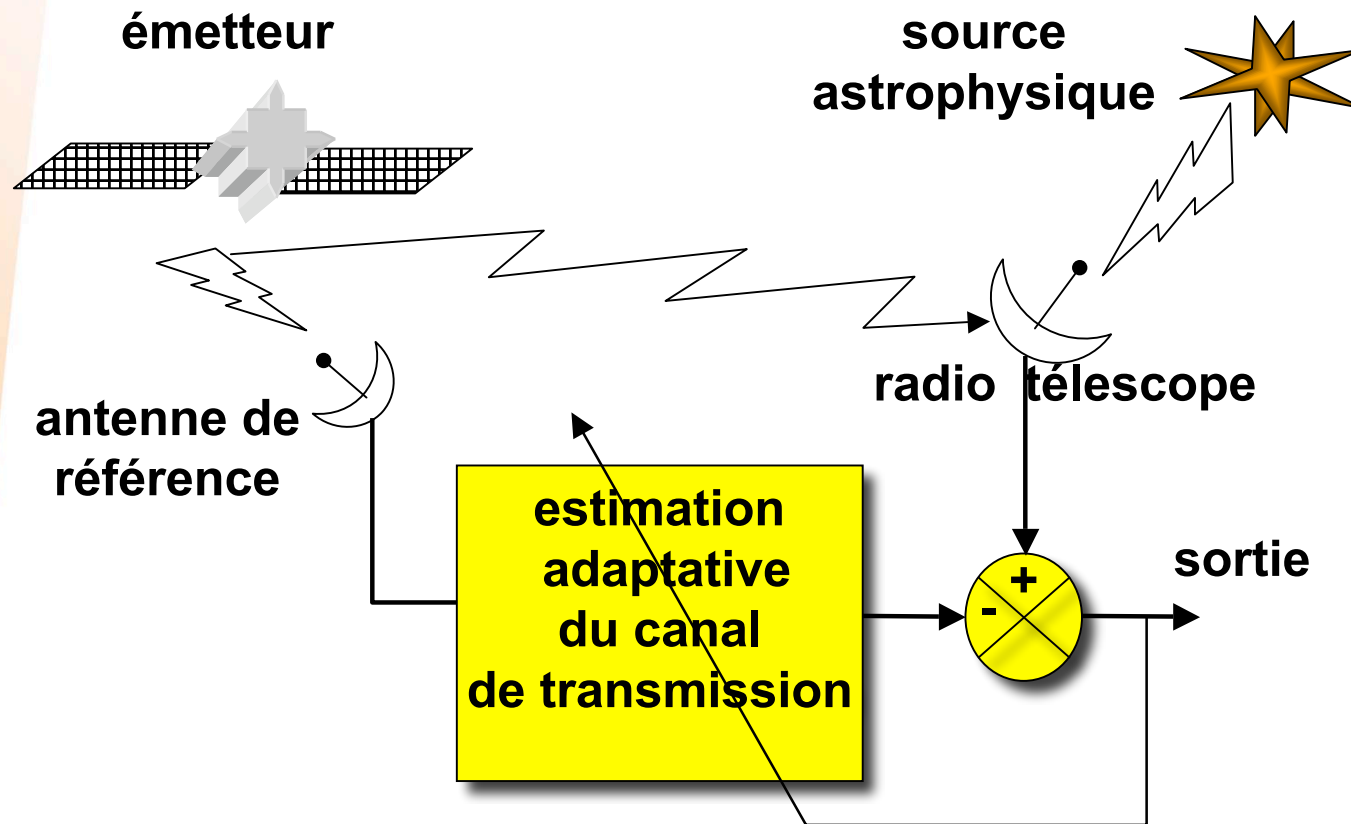


Exemple : —

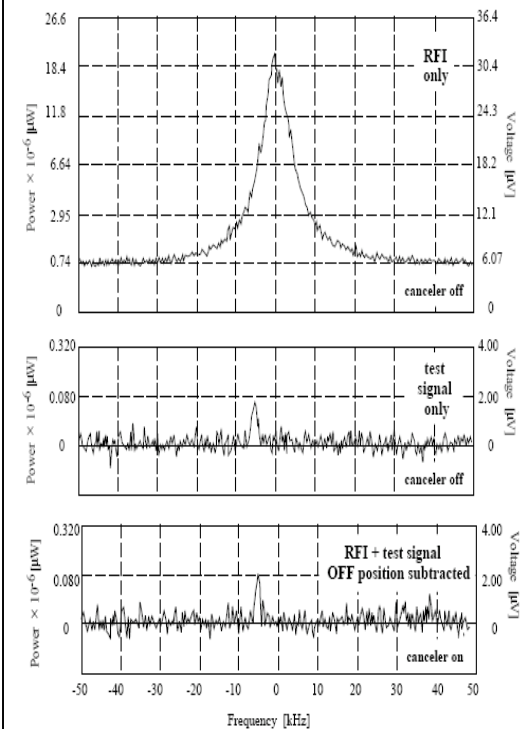


Ellingson S.W. , Bunton J. D., Bell J.F., "Removal of the GLONASS C/A signal from OH spectral line observations using a parametric modelling technique", *Astrophysical Journal Supplement*, **Vol. 135**, No. 1, Juillet 2001, 87-93.

Utilisation d'une antenne de référence

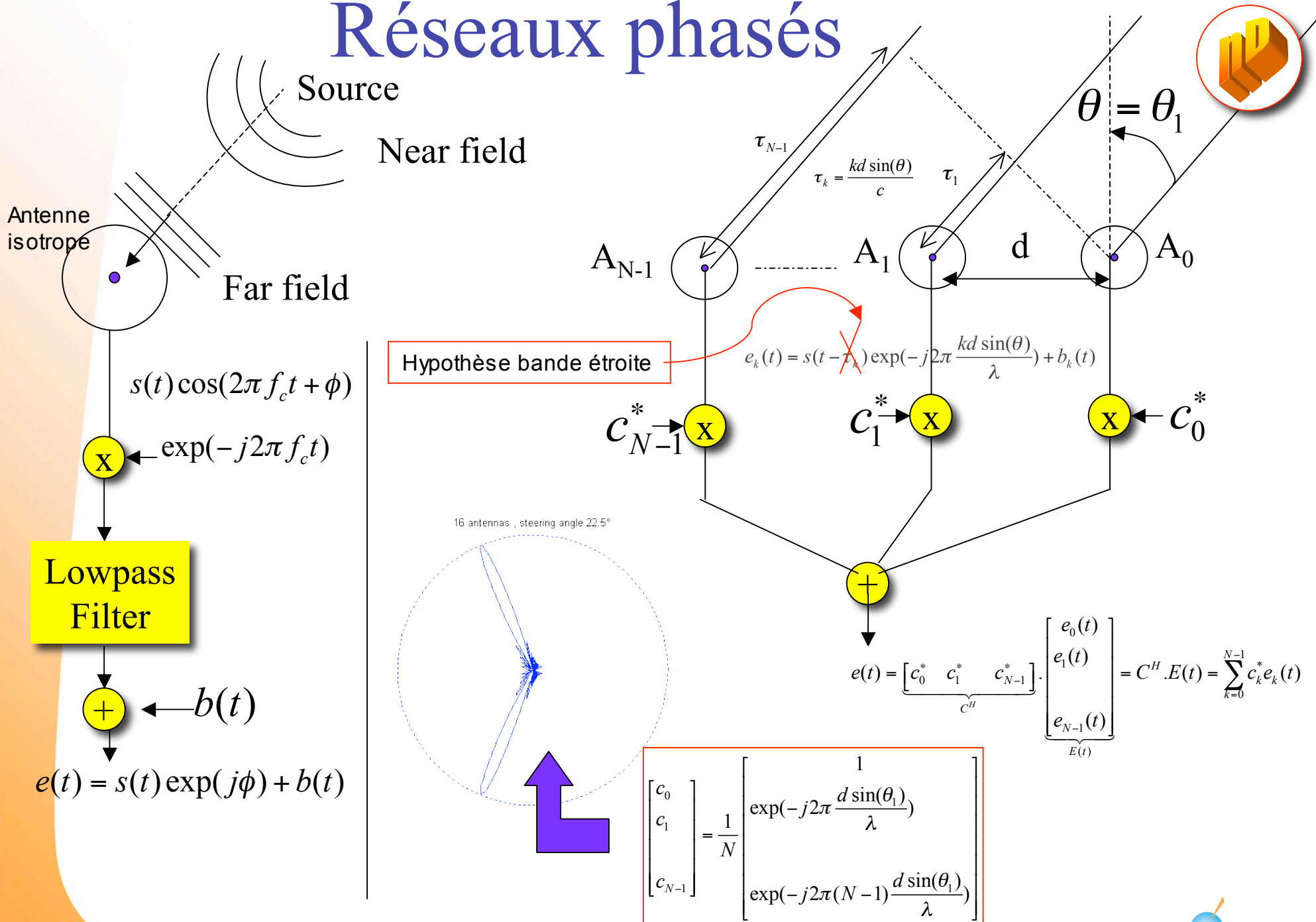


Exemple :



Barnbaum C., Bradley R.F., "A new approach to interference excision in radio astronomy: real-time adaptive cancellation", *The Astronomical Journal*, **115**, Novembre 1998, 2598-2614.

Réseaux phasés



Beamforming et nulling



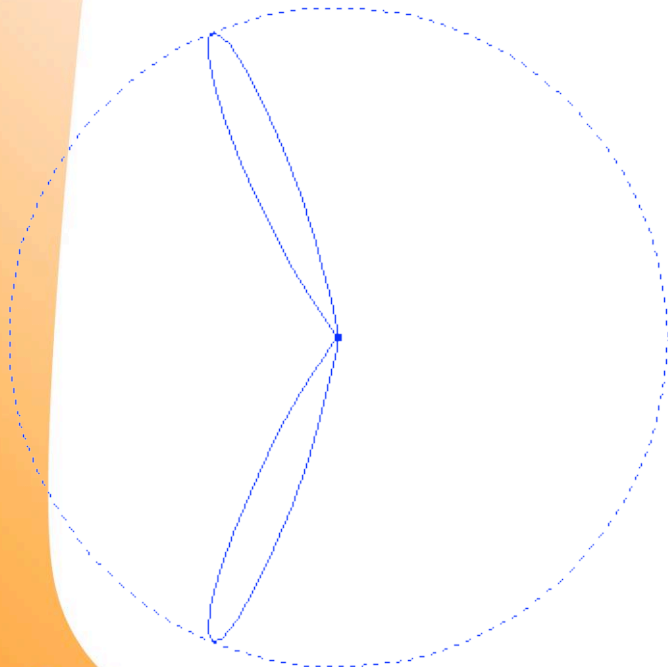
• Utilisation d'une fenêtre de pondération

$$\begin{bmatrix} c_0 \\ c_1 \\ \vdots \\ c_{N-1} \end{bmatrix} = \frac{1}{N} \begin{bmatrix} 1 \\ \exp(-j2\pi \frac{d \sin(\theta_1)}{\lambda}) \\ \vdots \\ \exp(-j2\pi(N-1) \frac{d \sin(\theta_1)}{\lambda}) \end{bmatrix} * \begin{bmatrix} h_0 \\ h_1 \\ \vdots \\ h_{N-1} \end{bmatrix}$$

$$A(\theta_1)$$



16 antennas , steering angle 22.5°, windows= hamming



• Annulation dans les directions des RFI

1) Définir un critère d'optimisation :

Exemple:

$$e(t) = C^H E(t)$$

$$P = \langle \|e(t)\|^2 \rangle = C^H \underbrace{\langle E.E^H \rangle}_R C$$

R matrice de cov.

Critère de

$$\min_C C^H R C \text{ avec } C^H A(\theta_1) = 1$$

Capon :

$$\text{Solution : } C = \frac{R^{-1} A(\theta_1)}{A^H(\theta_1) R^{-1} A(\theta_1)}$$

2) Méthodes haute résolution :

La diagonalisation de R permet de séparer l'espace signal de l'espace bruit

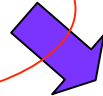
Conclusions

Beaucoup de solutions ou de pistes potentielles

Mais

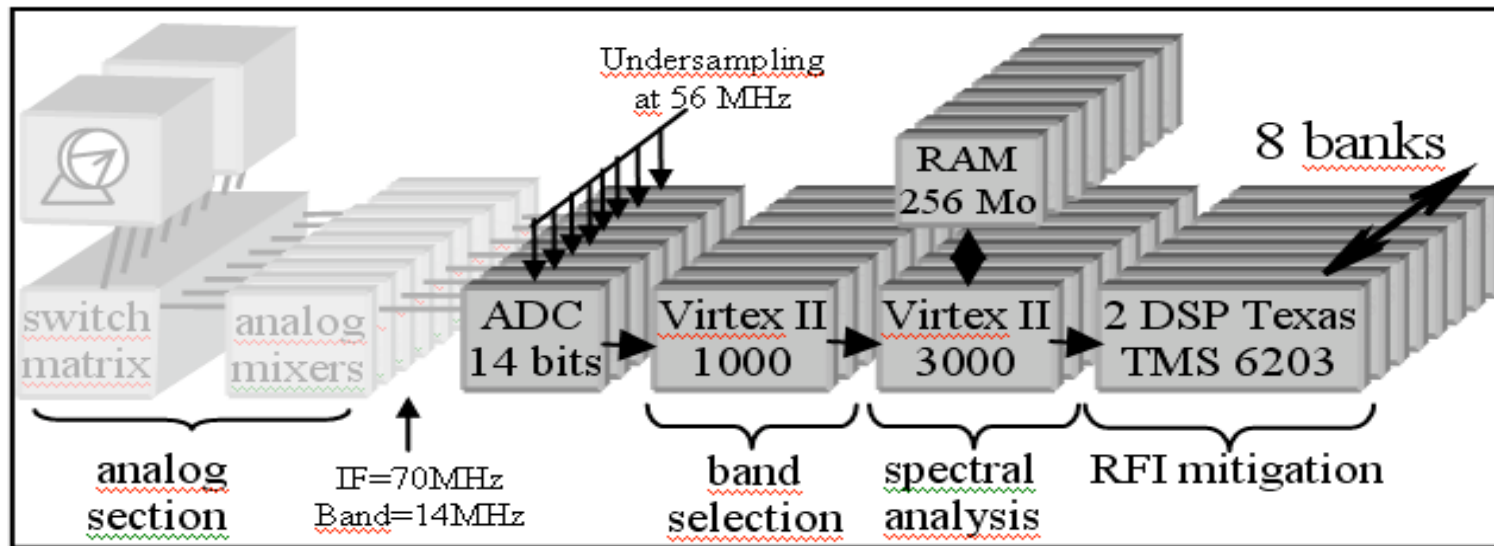
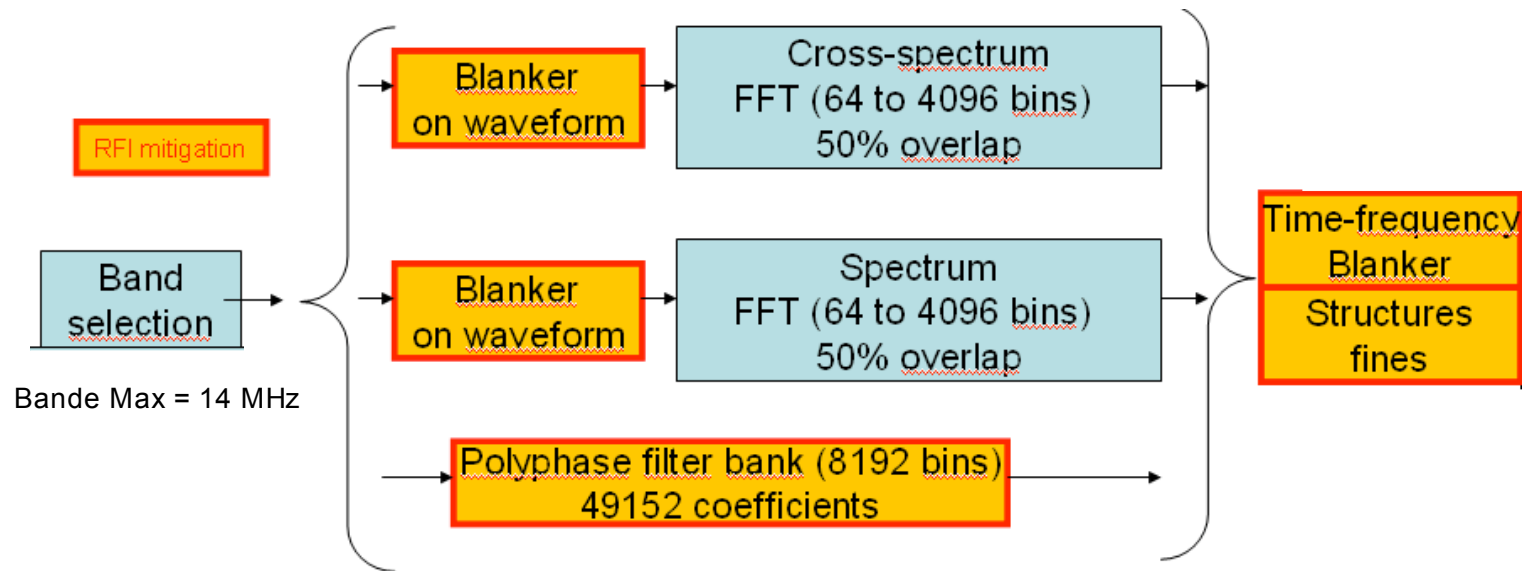
Nécessité de faire des choix stratégiques:

- Efficacité
- Innocuité
- Complexité
- Coût

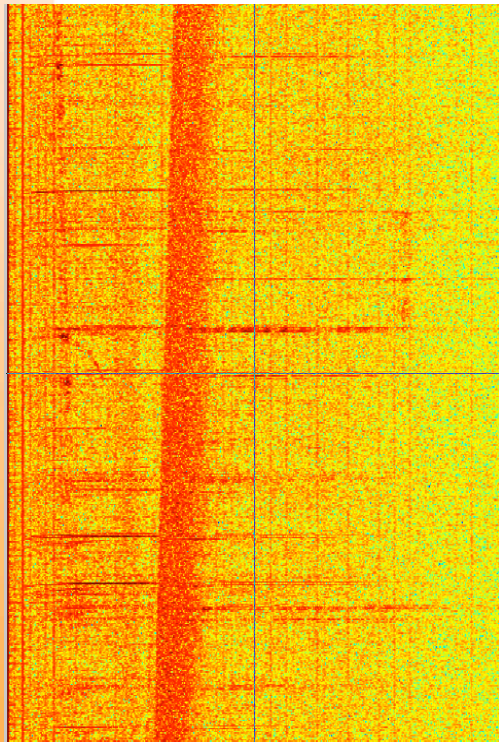
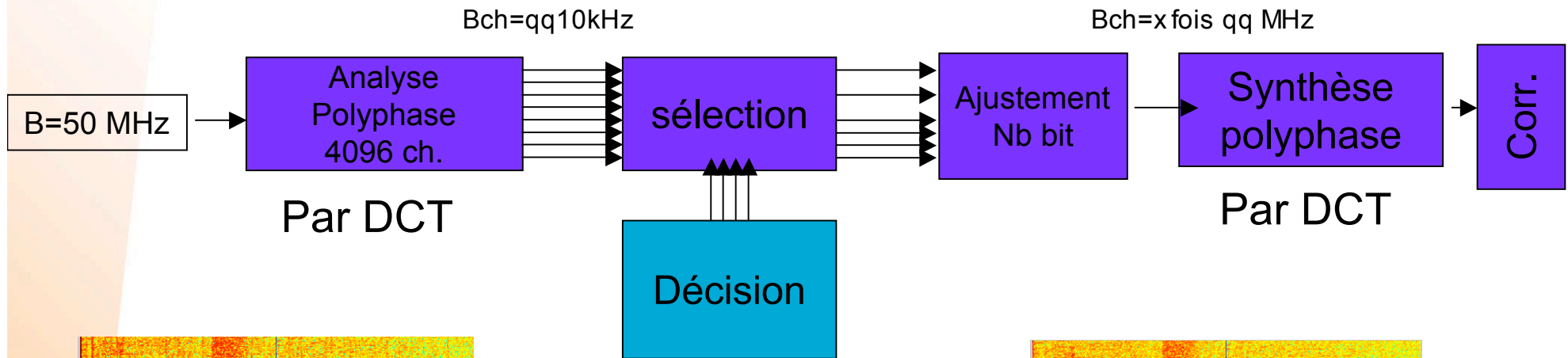


- Adéquation algorithme architecture
- Virgule fixe, Virgule Flottante ?
- Pré-intégré dans le Hardware ou reconfigurabilité (boîte à outils)?
- A quel niveau dans le radiotélescope ?
- Cluster PC ou Composants programmables ?
-

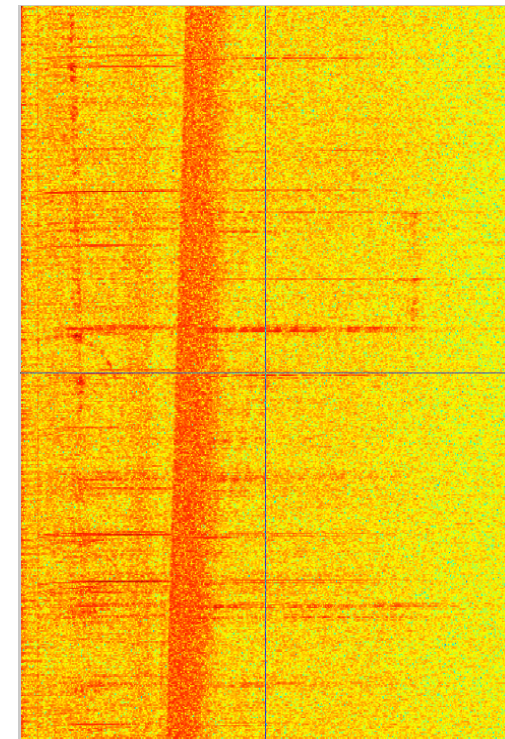
Exemples de stratégie (Nançay)



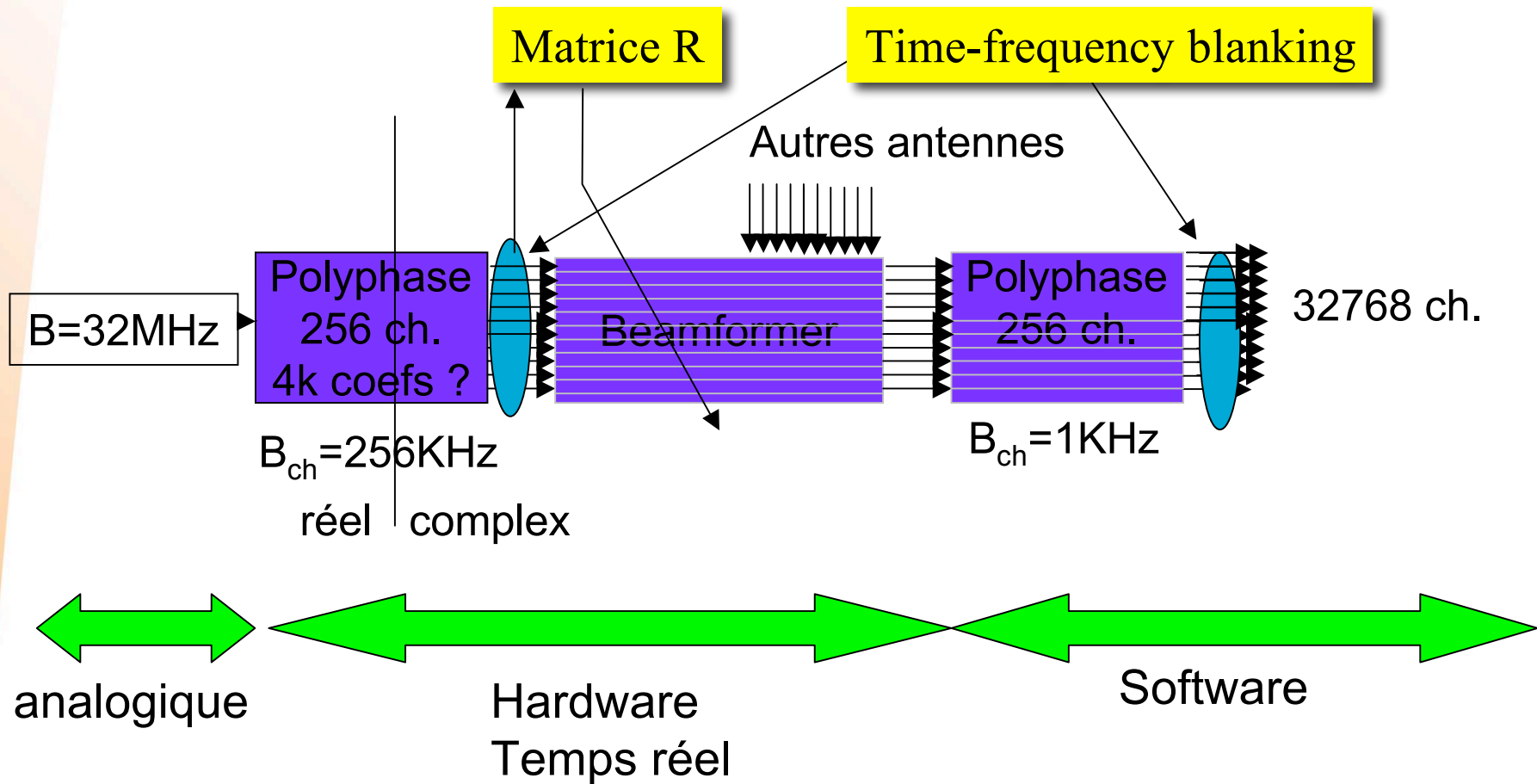
Exemples de stratégie (FASR)



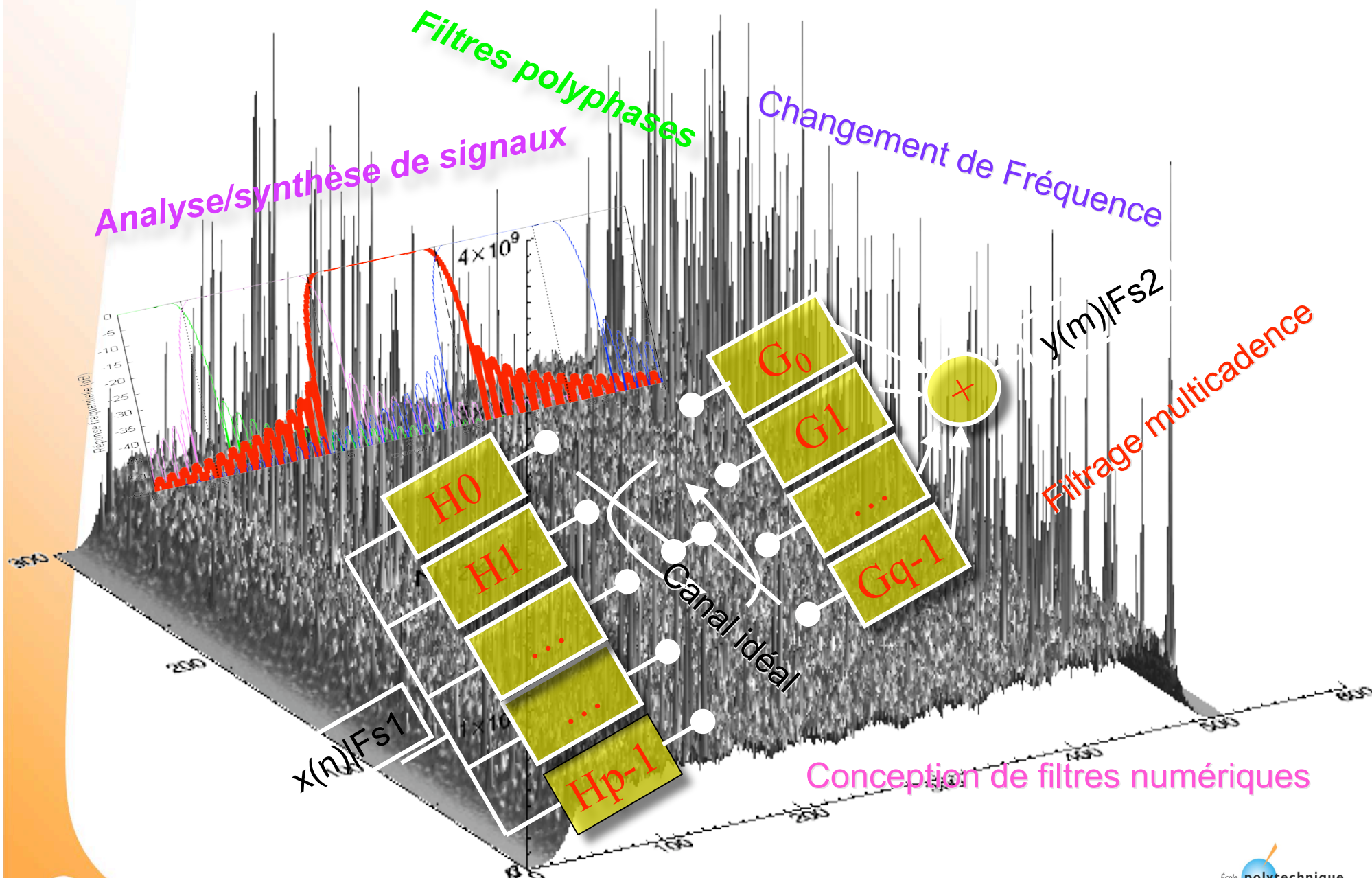
Filtres à reconstruction presque parfaite



Exemples de stratégie (LOFAR)



Un point commun



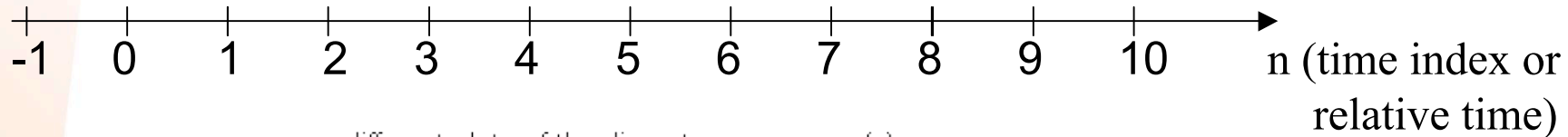
PART B: Filtrage multiscadence

1. Description temporel et fréquentiel d'un signal numérique
2. Rappels sur les filtres numériques
3. Filtrage polyphase
4. Filtrage multiscadence

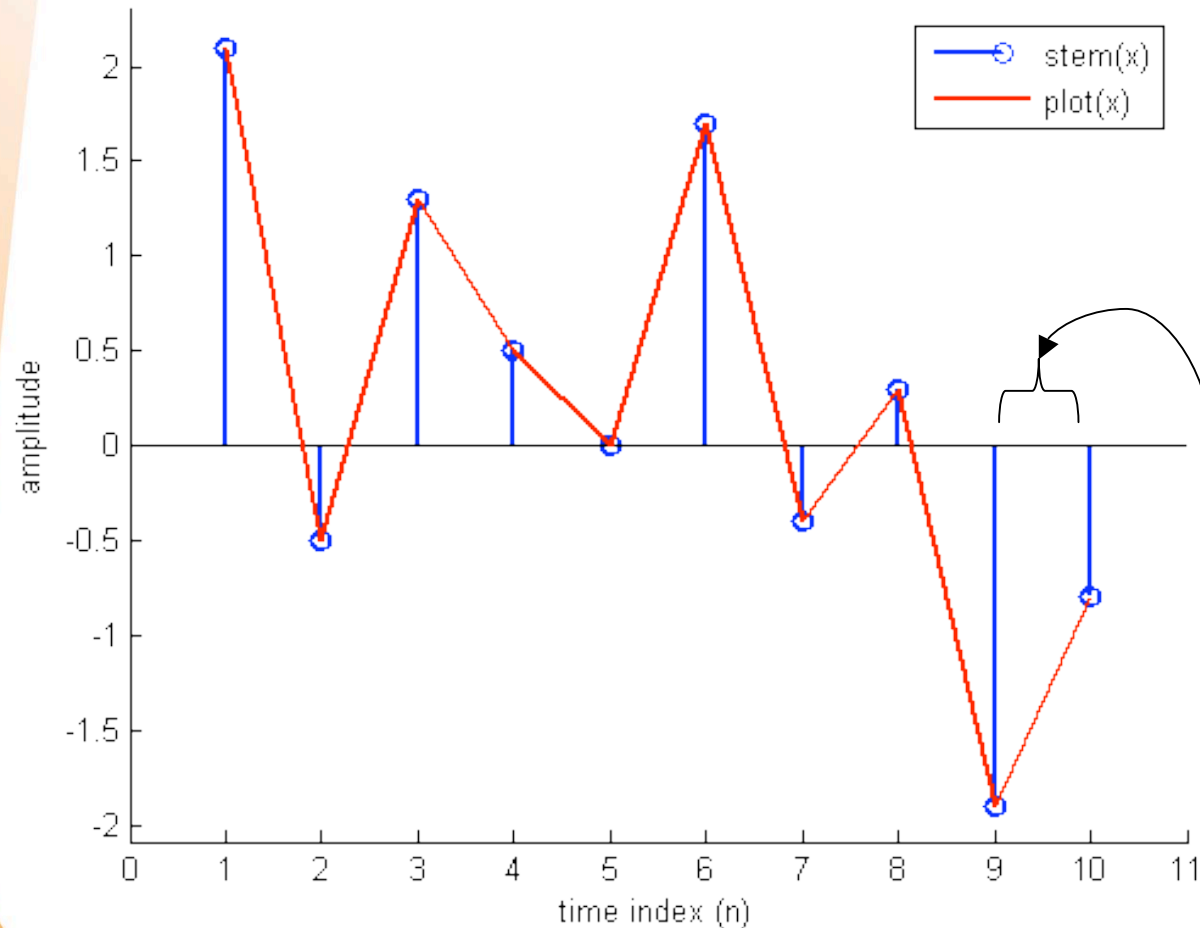
PART B.1: Description temporel et fréquentiel d'un signal numérique

Temporal Description

$x = [2.1 \ -0.5 \ 1.3 \ 0.5 \ 0 \ 1.7 \ -0.4 \ 0.3 \ -1.9 \ -0.8];$



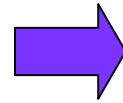
different plots of the discrete sequence $x(n)$



What really happens here ?

Theoretical spectral description

◆ The answer : the Fourier Transform

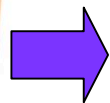


$$C_f = FT(x) = X(f)$$

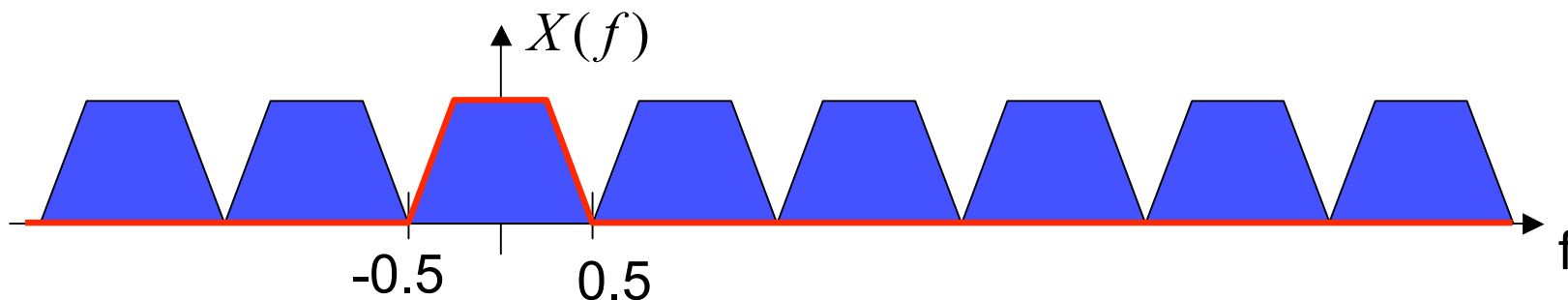
$$FT(x) = X(f) = \sum_{n=-\infty}^{+\infty} x(n)e^{-2j\pi fn}, \quad f \in \mathbb{R}$$

◆ Remarks :

$$X(f+1) = X(f)$$



- periodicity of the spectrum
- f can be limited to $[0, 0.5]$ for real signal (spectrum symmetry)
- f can be limited to $[-0.5, 0.5]$ or $[0, 1]$ for complex signal



Basic spectral properties

◆ Pure delay :

$$y(n) = x(n - \tau)$$

$$Y(f) = X(f).e^{-j2\pi f\tau}$$

◆ Modulation or frequency shift:

$$y(n) = x(n)e^{-2j\pi f_o n}$$

$$= x(n).(\cos(2\pi f_o n) - j \sin(2\pi f_o n))$$

$$Y(f) = X(f + f_o)$$

Digital Down
Conversion

◆ Product and Convolution:

$$y(n) = x(n)h(n)$$

$$Y(f) = (X @ H)(f)$$

$$\int_0^1 X(v)H(f - v)dv$$

$$y(n) = (x @ h)(n) = \sum_{k=-\infty}^{+\infty} x(k)h(n - k)$$

$$Y(f) = X(f)H(f)$$

◆ Parseval relation :

$$\text{Energy} = \sum_{n=-\infty}^{+\infty} |x(n)|^2 = \int_0^1 |X(f)|^2 df$$

Practical spectral description (1)

◆ Theoretical Formulation :

$$TF(x) = X(f) = \sum_{n=-\infty}^{+\infty} x(n)e^{-2j\pi ft}, \quad f \in \mathbb{R}$$

No digital implementation possible

◆ Approximations : The Discrete Fourier Transform

↳

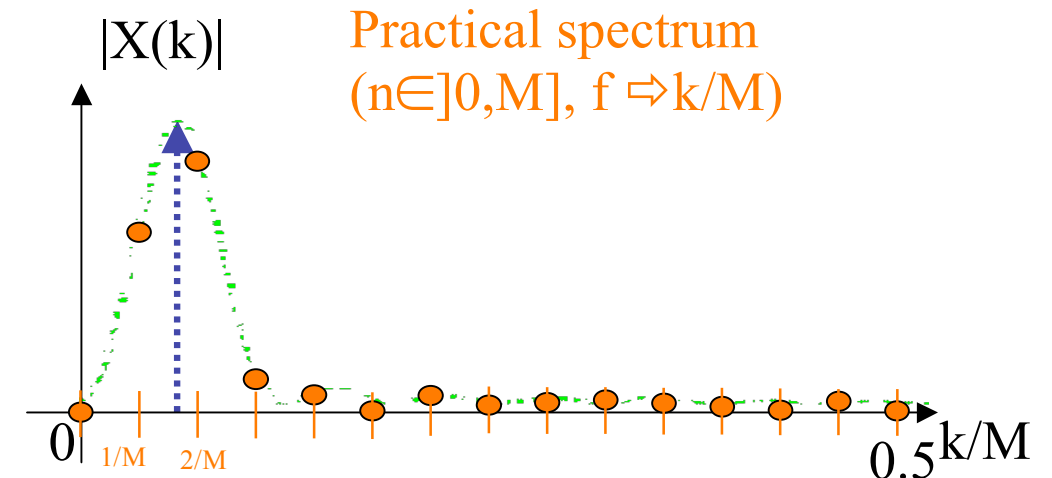
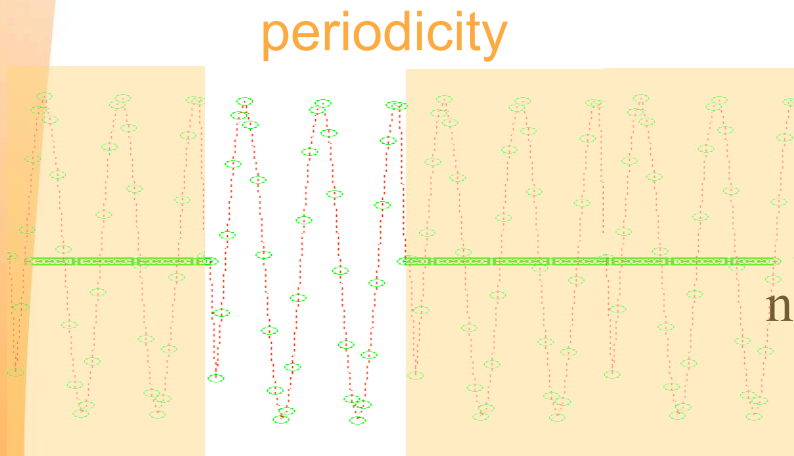
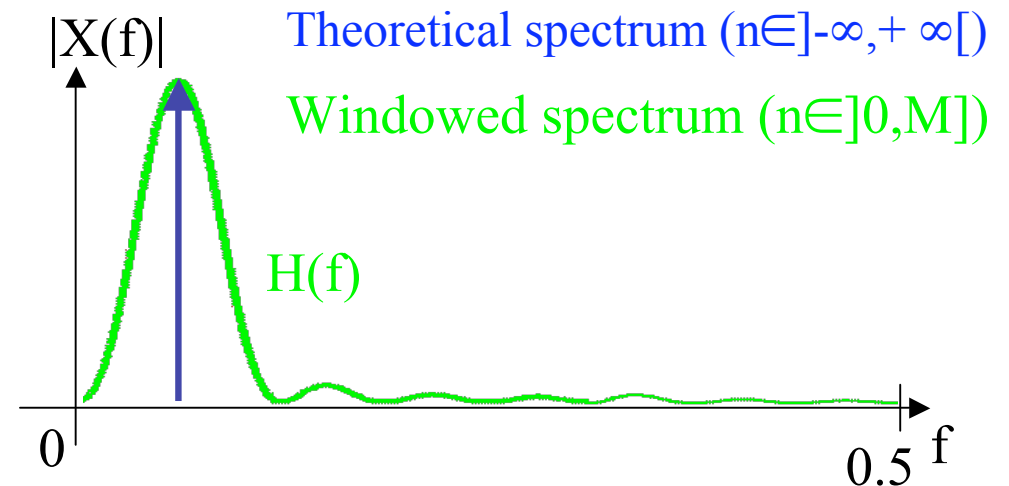
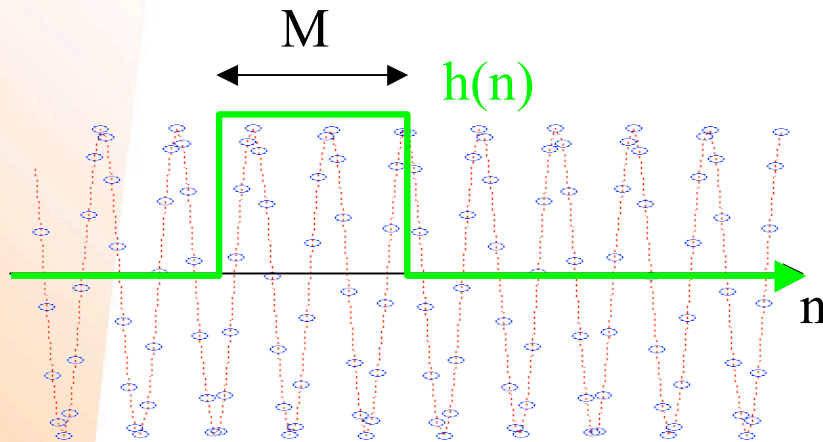
$$\begin{cases} 1. n \in [0, M-1] \\ 2. \text{Only } f / f_s = k/M \end{cases}$$

$$DFT(x) = X(k) = \sum_{n=0}^{M-1} x(n)e^{-2j\pi \frac{k}{M}n}, \quad k = 0, \dots, M-1$$

$X = \text{fft}(x)$;

$FFT(x) = DFT(x)$ with M a power of 2

Practical spectral description (2)



➡ Possibility to reduce distortion by using different kinds of windows, $h(n)$

**Polytech'
Orléans**

PART B.2: Rappels sur les filtres numériques



Linear Digital filtering

◆ Formulations : temporal view

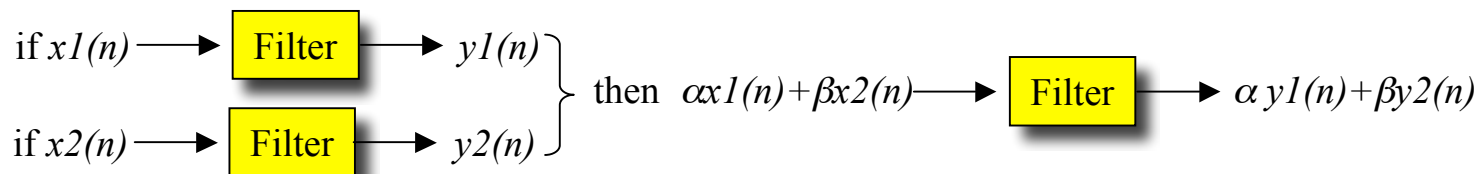


$$b = [b_0 \ b_1 \ \dots \ b_N]; \ a = [1 \ a_1 \ \dots \ a_D]; \ y = \text{filter}(b,a,x);$$

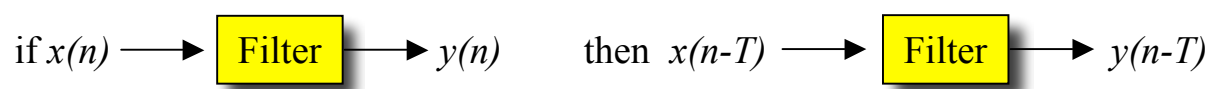
$$y(n) = \underbrace{\sum_{i=0}^N b_i x(n-i)}_{\text{non recursive part}} + \underbrace{\left(- \sum_{i=1}^D a_i y(n-i) \right)}_{\text{recursive part}}$$

◆ Basic properties :

Linearity

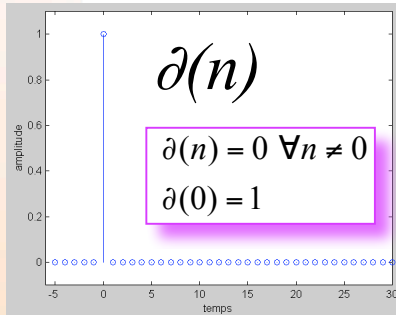


Temporal reproducibility

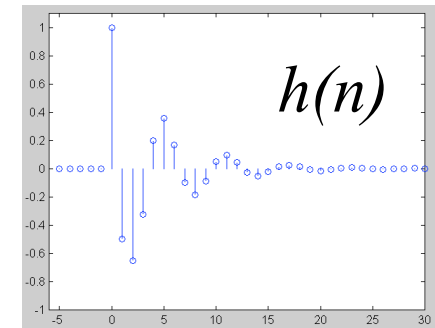


Impulse response

◆ Formulation :



The impulse response



$x = [1 \text{ zeros}(1,29)];$ $h = \text{filter}(b,a,x);$

◆ Consequences :

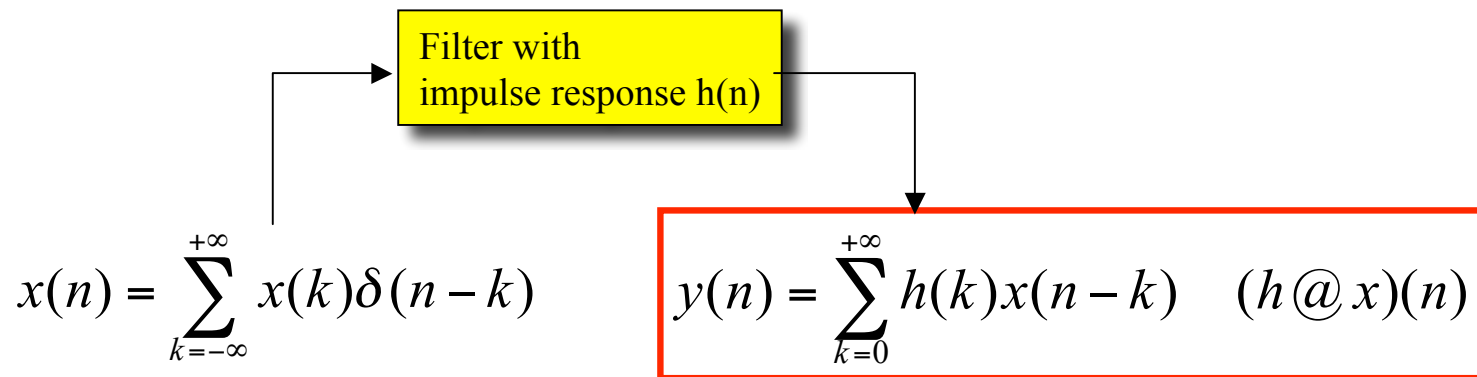
1 $y(n) = \sum_{i=0}^N b_i x(n-i)$ →

Finite impulse response (FIR)

$$\begin{cases} h(k) = b_k & \text{for } k=0, \dots, N \\ h(k) = 0 & \text{else} \end{cases}$$

always stable

2



Filter Specifications(1)

The screenshot shows the 'Filter Design & Analysis Tool' interface. The top window title is 'Filter Design & Analysis Tool - [untitled.fda]'. The menu bar includes 'File', 'Edit', 'Analysis', 'Targets', 'View', 'Window', and 'Help'. The toolbar contains various icons for file operations and analysis.

The main workspace is divided into two panels:

- Current Filter Information:** Structure: Direct-Form FIR, Order: 50, Sections: 1, Stable: Yes, Source: Designed. Buttons: 'Store Filter ...', 'Filter Manager ...'.
- Filter Specifications:** A graph showing Magnitude (Mag. (dB)) vs. Frequency (f (Hz)). The graph is annotated with:
 - Passband:** Indicated by a red double-headed arrow from 0 to F_{pass} .
 - Stopband:** Indicated by a red double-headed arrow from F_{stop} to $F_s/2$.
 - Transition band:** Indicated by a red double-headed arrow between F_{pass} and F_{stop} .
 - Ripple:** Indicated by a vertical arrow labeled A_{pass} in the passband.
 - Attenuation:** Indicated by a vertical arrow labeled A_{stop} in the stopband.

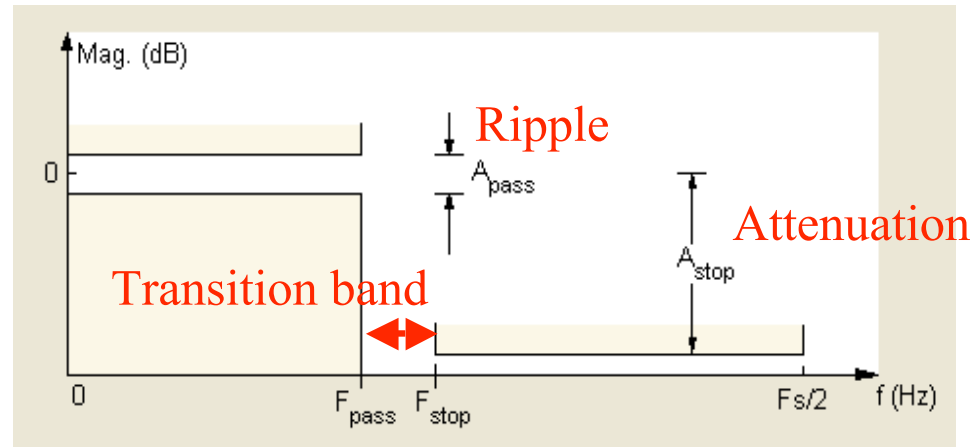
Below the graph are four specification panels, each with a green number 1-5 and a red circle:

- 1 Response Type:** Lowpass (selected), Highpass, Bandpass, Bandstop, Differentiator.
- 2 Filter Order:** Specify order: 10, Minimum order (selected). Options: Density Factor: 20.
- 3 Frequency Specifications:** Units: Hz, F_s : 48000, F_{pass} : 9600, F_{stop} : 12000.
- 4 Magnitude Specifications:** Units: dB, A_{pass} : 1, A_{stop} : 80.

At the bottom center is a 'Design Filter' button (5). The status bar at the bottom left shows 'Ready'.

Filter Specifications (2)

◆ General rules :



• If **Attenuation** 👍
 or **Ripple** 👎
 or **Transition Band** 👎
 the **n**

Order or complexity 👍

$$y(n) = \sum_{i=0}^N b_i x(n-i) - \sum_{i=1}^D a_i y(n-i)$$

- For a given specification, **IIR is always less complex than FIR**
But be careful to the stability (and the phase linearity) !

Basic Design Methods

Bandpass :

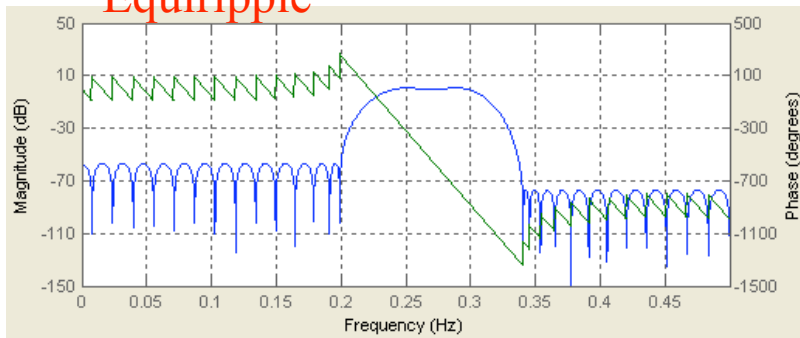
Filter Order <input type="radio"/> Specify order: 10 <input checked="" type="radio"/> Minimum order Options Density Factor: 20	Frequency Specifications Units: Hz Fs: 1 Fstop1: 0.2 Fpass1: 0.24 Fpass2: 0.3 Fstop2: 0.34	Magnitude Specifications Units: dB Astop1: 60 Apass: 1 Astop2: 80
--	---	--

$$|H(f)|_{dB} \quad \text{---} \quad \text{magenta line}$$

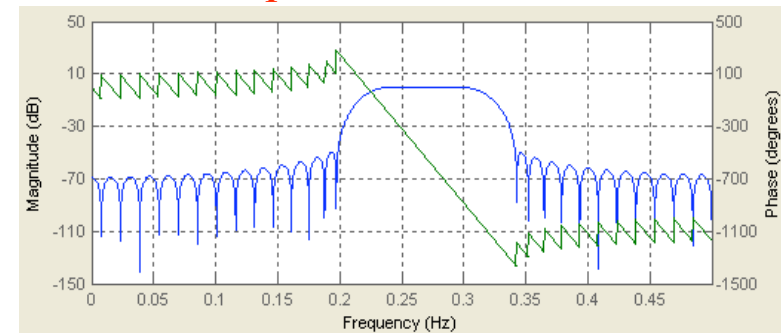
$$phase_H(f) \quad \text{---} \quad \text{blue line}$$

- ◆ Basic FIR methods : ordre 63 \Rightarrow 64 coefficients, linear phase

Equiripple

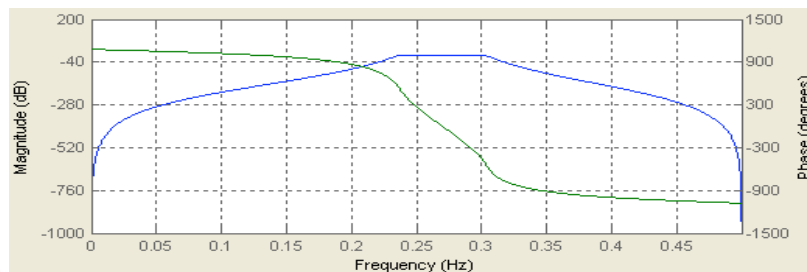


Least-square



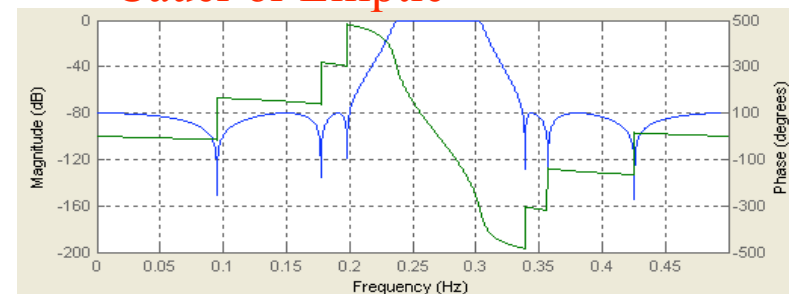
- ◆ Basic IIR methods : order 24 \Rightarrow 50 coefficients

Butterworth



order 12 \Rightarrow 26 coefficients

Cauer or Elliptic



**Polytech'
Orléans**

PART B.3: Filtrage Polyphase



The Z-Transform

◆ **Formulation :**
$$F(z) = ZT(f)(z) = \sum_{n=-\infty}^{+\infty} f(n)z^{-n}, z \in$$

◆ **useful (and simple) properties:**

Given $X(z) = ZT(x)$ and $Y(z) = ZT(y)$

- linearity : $ZT(\alpha x(n) + \beta y(n)) = \alpha X(z) + \beta Y(z)$

- **convolution :** $ZT[(x @ y)(n)] = X(z) Y(z)$

← These make the ZT very interesting !

- $ZT(x(n+1)) = z X(z)$; $ZT(x(n+k)) = z^k X(z)$

- $ZT(x(n-1)) = z^{-1} X(z)$; $ZT(x(n-k)) = z^{-k} X(z)$

- $ZT(x)$ for $z = \exp(j2\pi f) = TF(x)$

◆ **Application to the filtering:**

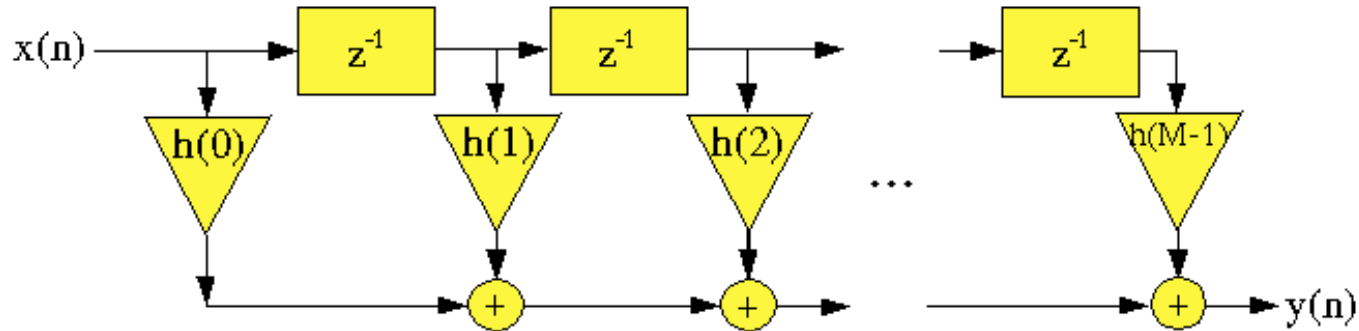
$$(h @ x)(n) = y(n) = \sum_{k=0}^{M-1} h(k)x(n-k) \quad \xRightarrow{ZT} \quad ZT(h(n)) = H(z) = \frac{Y(z)}{X(z)} = \sum_{k=0}^{M-1} h(k)z^{-k}$$

ZT

Filter structures

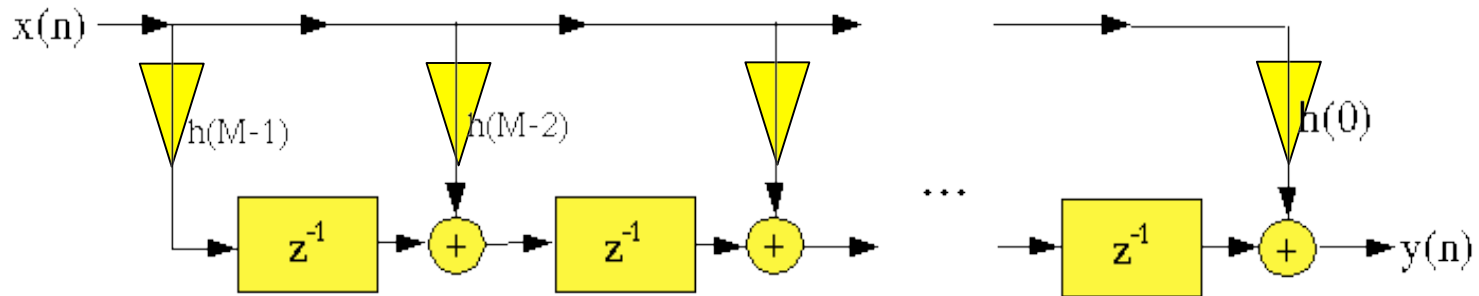
$$Y(z) = \sum_{k=0}^{M-1} h(k) \cdot (z^{-k} X(z))$$

Direct



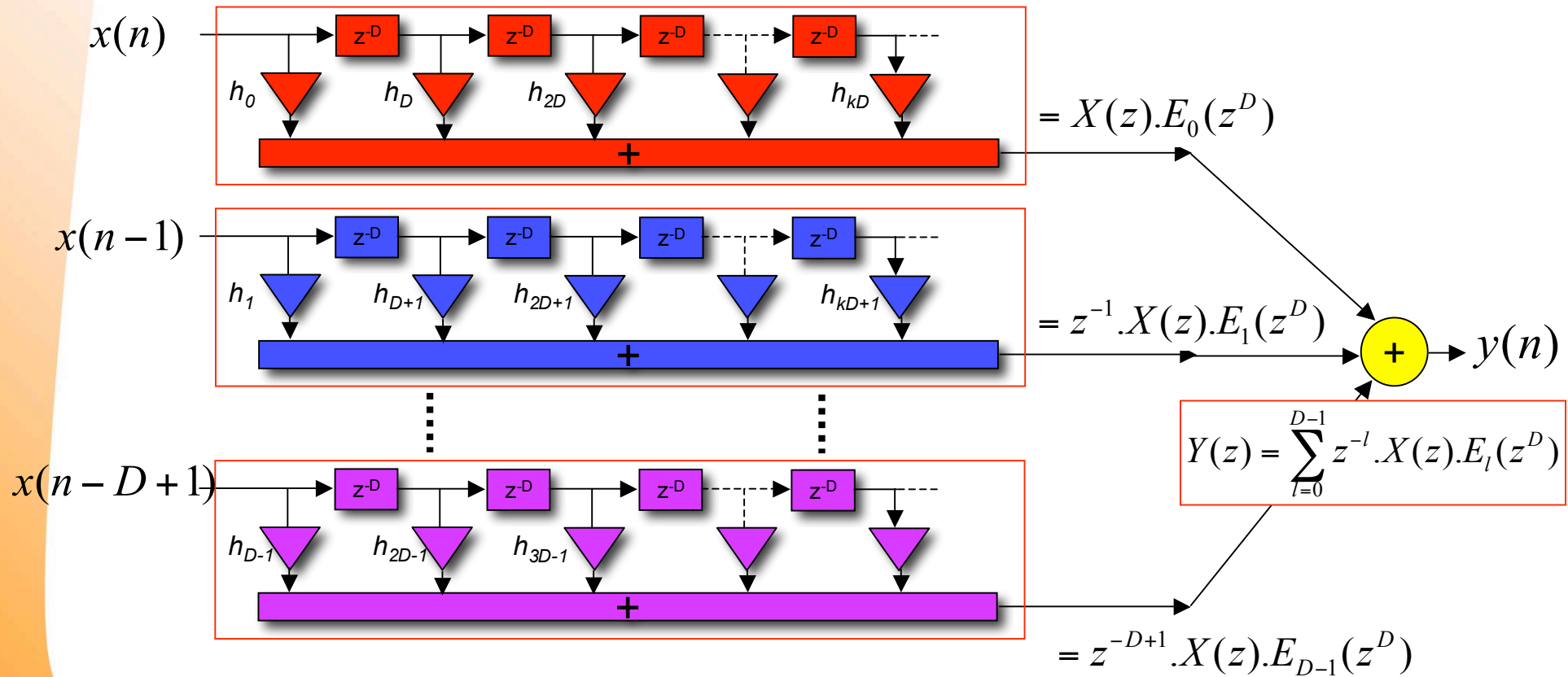
$$Y(z) = \sum_{k=0}^{M-1} (h(k) \cdot X(z)) z^{-k}$$

Transpose



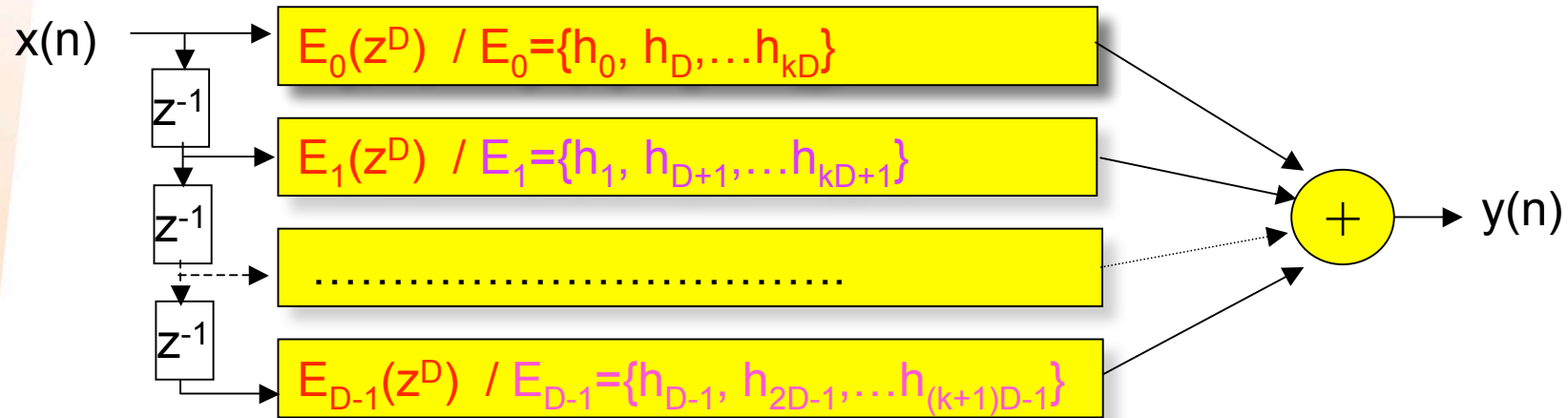
Polyphase structure (1)

$$y(n) = \sum_{k=0}^{N/D} h_k x(n-k) = \begin{cases} h_0 x[n] + h_D x[n-D] + h_{2D} x[n-2D] + \dots + h_{kD} x[n-kD] \dots \\ + h_1 x[n-1] + h_{D+1} x[n-D-1] + h_{2D+1} x[n-2D-1] + \dots + h_{kD+1} x[n-kD-1] \dots \\ \vdots \\ + h_{D-1} x[n-D+1] + h_{2D-1} x[n-2D+1] + h_{3D-1} x[n-3D+1] + \dots + h_{(k+1)D-1} x[n-(k+1)D+1] \dots \end{cases}$$

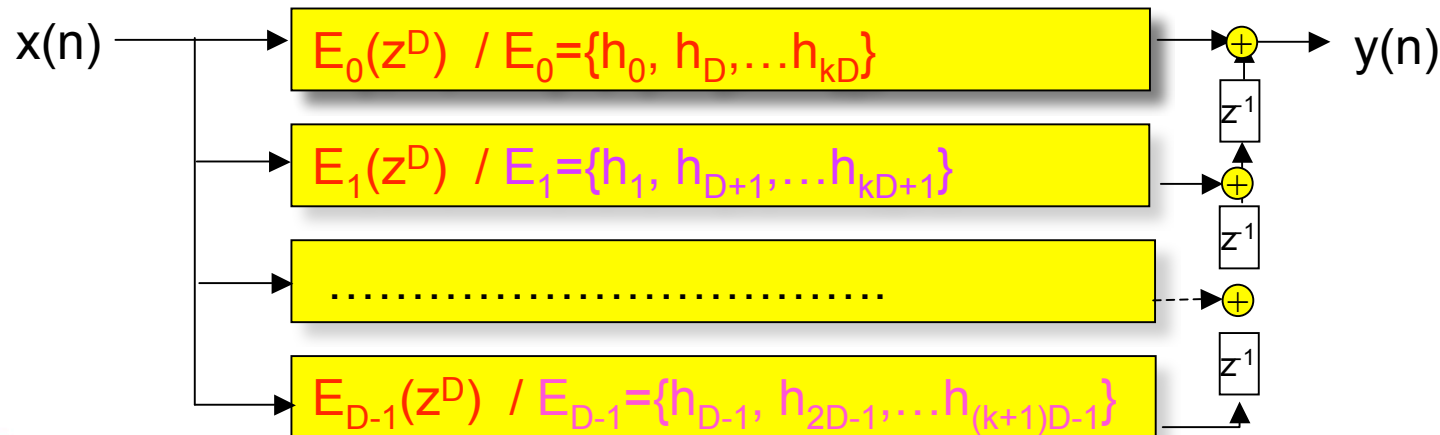


Polyphase structure (2)

$$Y(z) = H(z).X(z) = \sum_{l=0}^{D-1} (z^{-l} X(z))E_l(z^D)$$

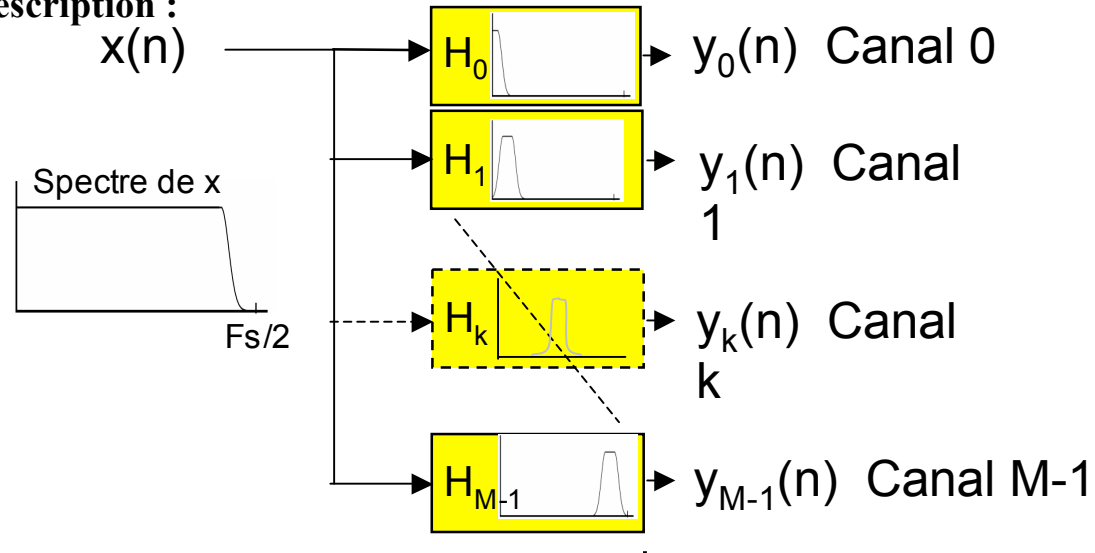


$$Y(z) = H(z).X(z) = \sum_{l=0}^{D-1} (X(z).E_l(z^D)).z^{-l}$$



Filter Bank

◆ General description :



Spectre de M canaux
de largeur théorique F_s/M

◆ The idea :

$$H_k(f) = H_0\left(f - \frac{k}{M}\right)$$

➔
$$H_k(z) = H_0\left(z \cdot e^{-j2\pi \frac{k}{M}}\right)$$

Polyphase filter bank (1)

1) $H_0(z) = \sum_{l=0}^{M-1} z^{-l} \cdot E_l(z^M)$ Polyphase structure

2) $H_k(z) = H_0(z \cdot e^{-j2\pi \frac{k}{M}})$ Frequency translation

➔ $H_k(z) = \sum_{l=0}^{M-1} \left[z e^{-j2\pi \frac{k}{M}} \right]^{-l} \cdot E_l \left(\left(z e^{-j2\pi \frac{k}{M}} \right)^M \right)$

$H_k(z) = \sum_{l=0}^{M-1} z^{-l} \cdot E_l(z^M) \cdot e^{j2\pi \frac{k \cdot l}{M}}$

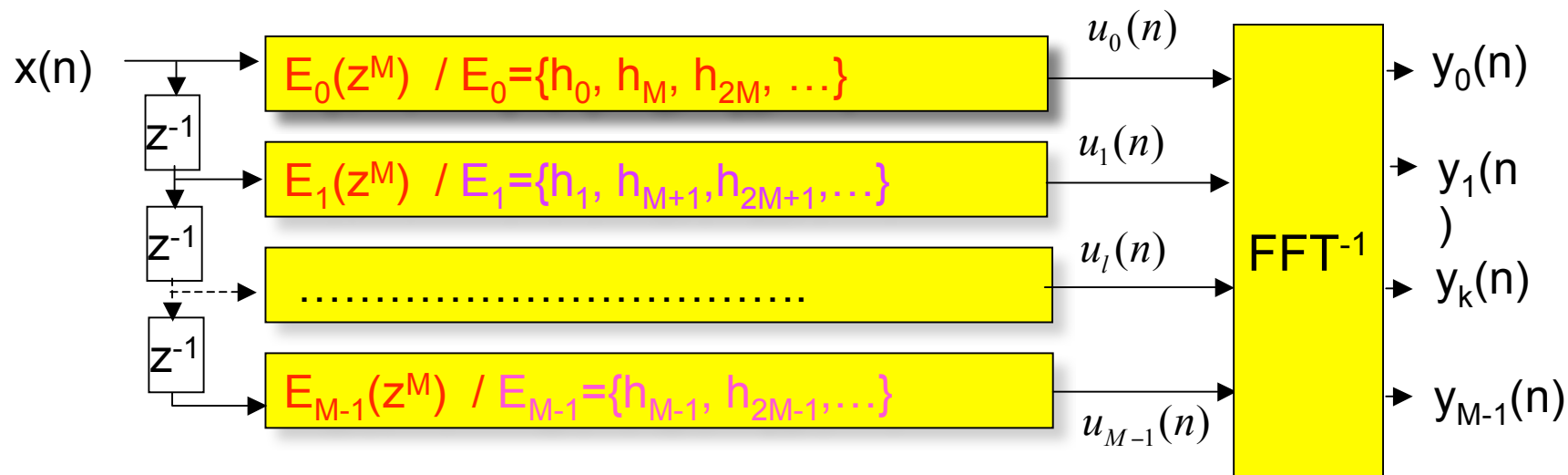
➔ $Y_k(z) = X(z) \cdot H_k(z) = \sum_{l=0}^{M-1} z^{-l} \cdot \underbrace{X(z) \cdot E_l(z^M)}_{U_l(z)} \cdot e^{j2\pi \frac{k \cdot l}{M}}$

$Y_k(z) = \sum_{l=0}^{M-1} U_l(z) \cdot e^{j2\pi \frac{k \cdot l}{M}} = FT^{-1}(U_{l=0, \dots, M-1}(z))$ at frequency $\frac{k}{M}$

Polyphase filter bank

1) $U_l(z) = z^{-l} \cdot X(z) \cdot E_l(z^M)$ for $l = 0, \dots, M - 1$

2) $Y_k(z) = FT^{-1}(U_{l=0, \dots, M-1}(z))$ at frequency $\frac{k}{M}$

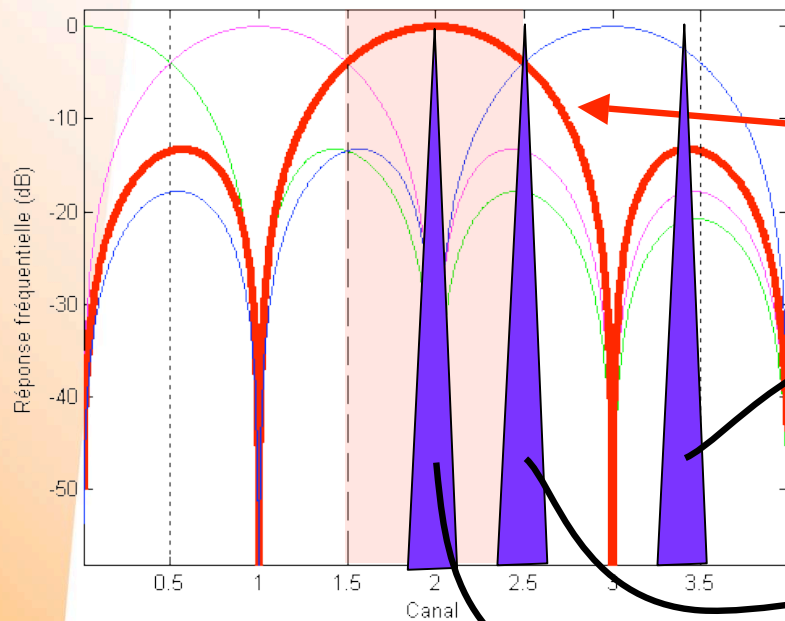


Exemple 1

$M=64$, H =fenêtre rectangulaire de taille M → $E_l = \{1/M\}$, $l=0, \dots, M-1$

M

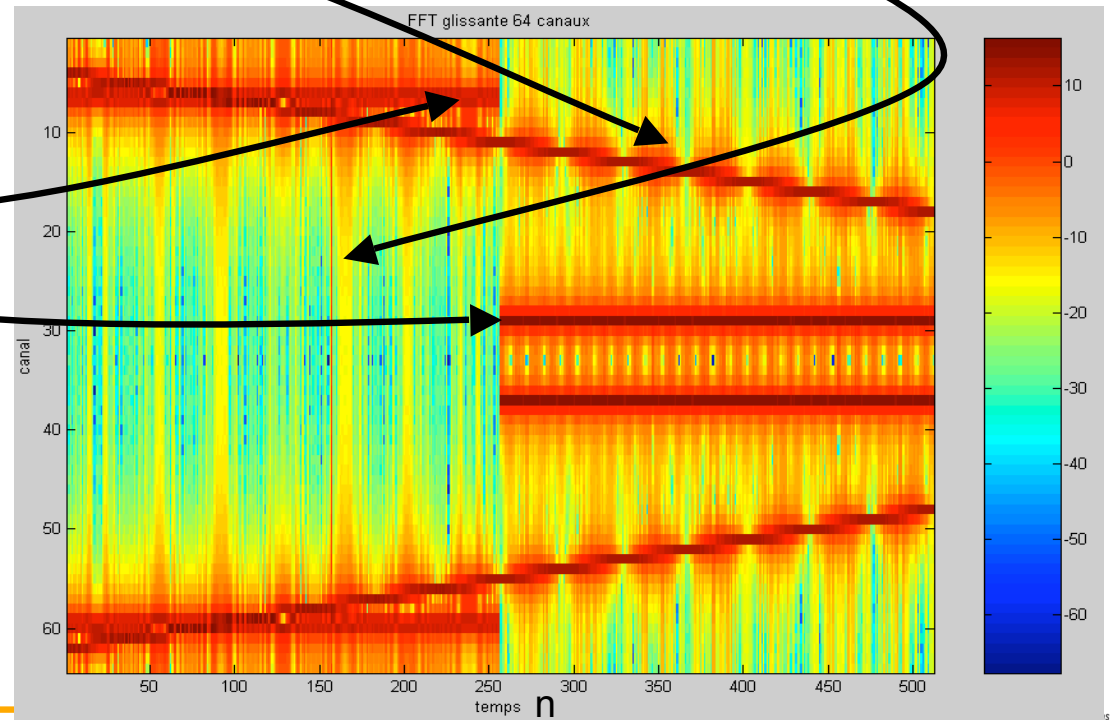
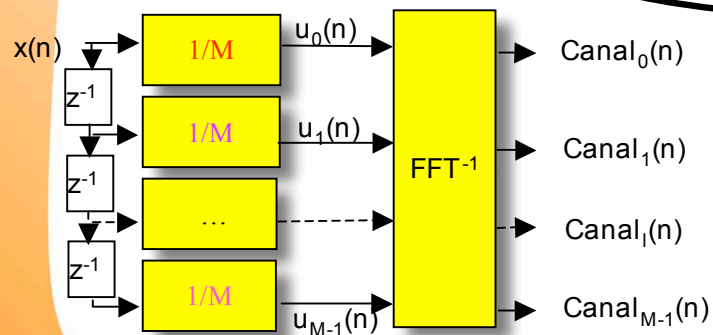
Banc de filtre = FFT



Canal idéal

Canal obtenu

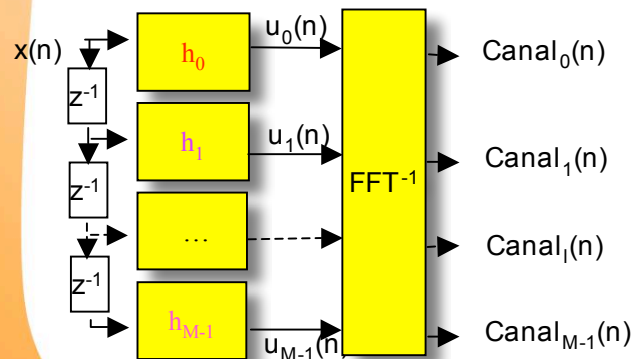
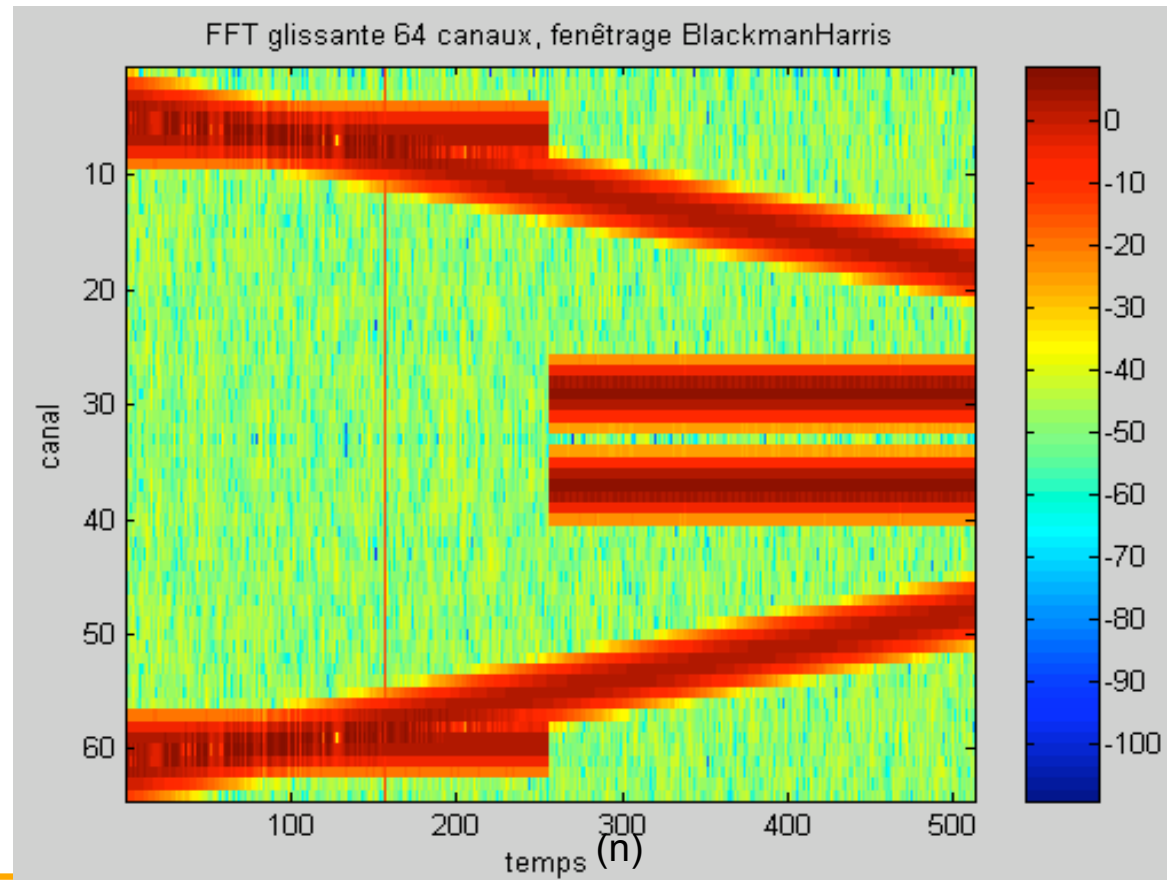
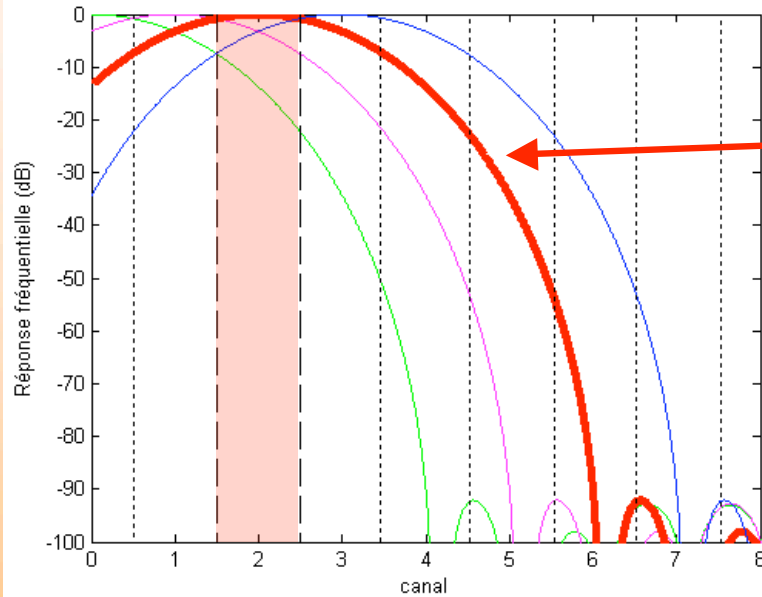
Bonne précision sur l'impulsion



Exemple 2

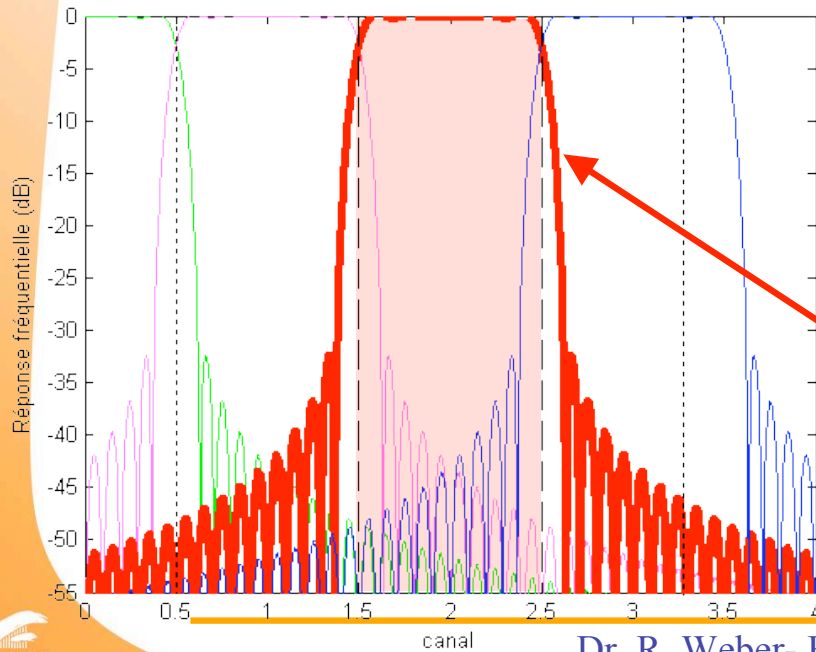
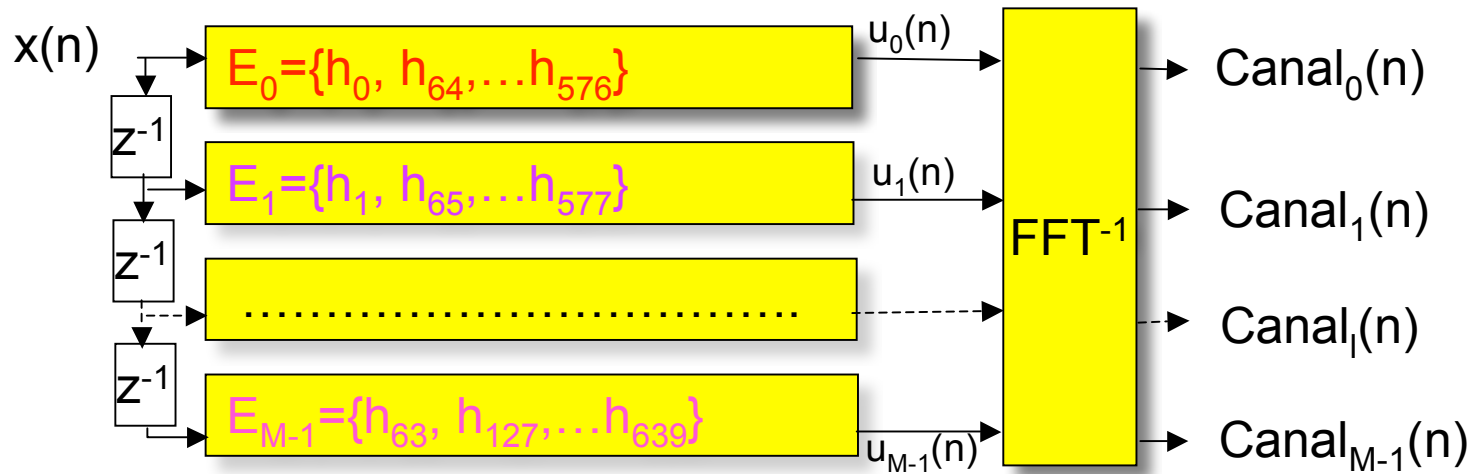
$M=64$, H =fenêtre Blackmanharris de taille M → $H_l=\{h_l\}, l=0,\dots,M-1$

Banc de filtre = FFT fenêtrée par blocs sur M points



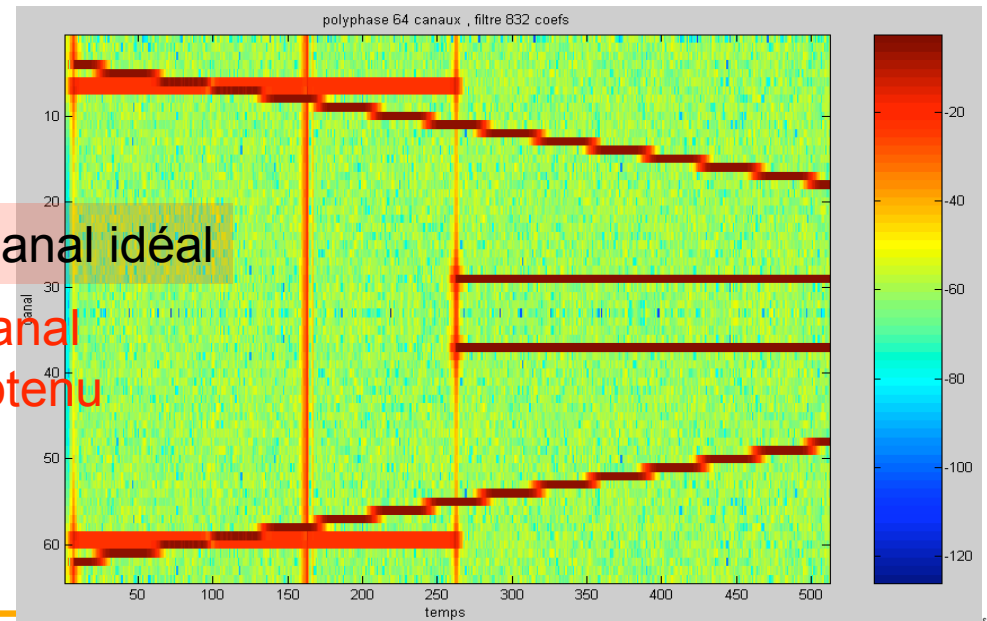
Exemple 3

M=64, H=filtre de 640 coefficients



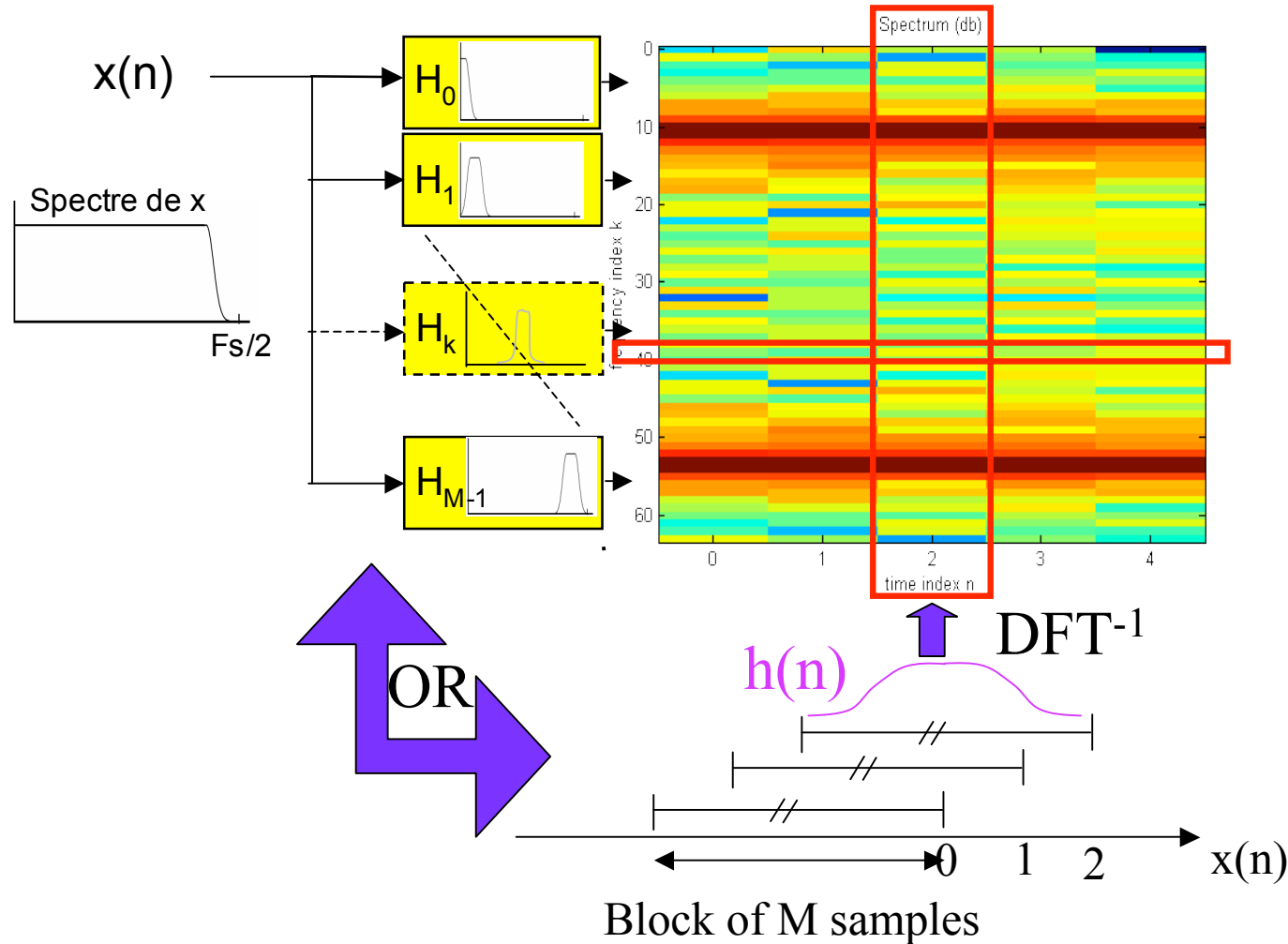
Canal idéal

Canal obtenu



Conclusion

◆ 2 formulations of the same spectral analysis tool :



OR

What happens if I keep only 1 time index every M ones ?

Multirate System

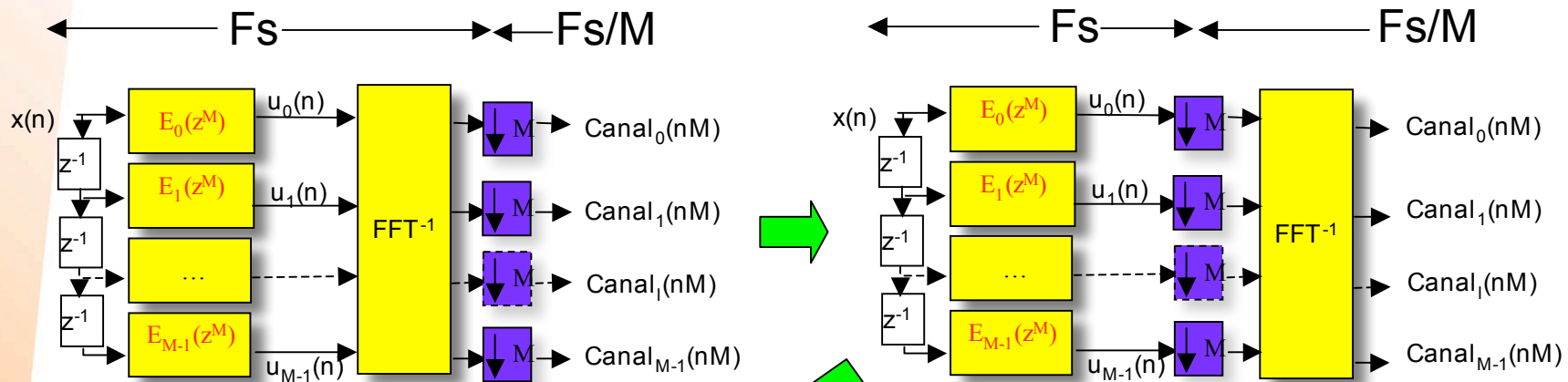
**Polytech'
Orléans**

PART B.4: Filtrage multicadence



Mise en œuvre

Décimation par M : $s(n) \rightarrow \downarrow M \rightarrow s(nM)$

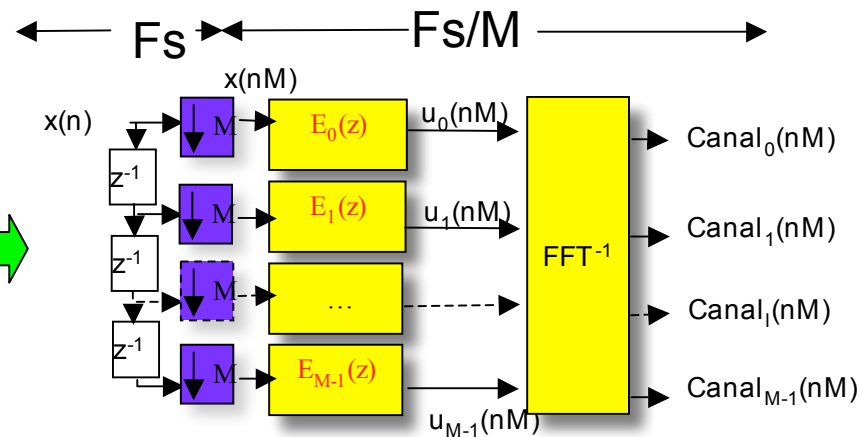


F_s : sampling frequency

$$u_0(n) = \sum_{p=0}^{P-1} h_{pM} x(n - pM)$$

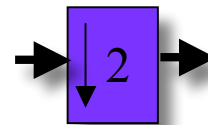
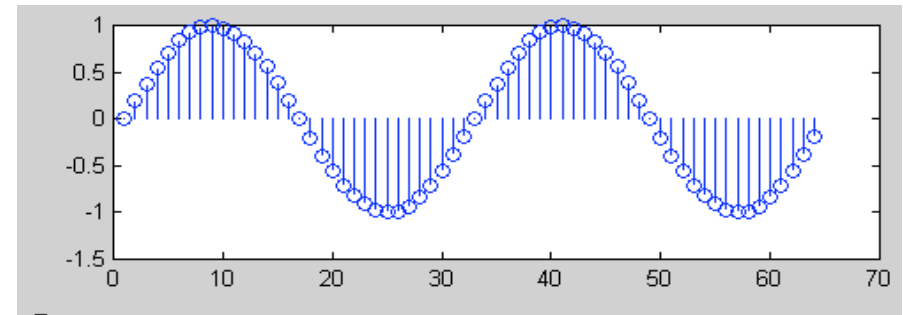
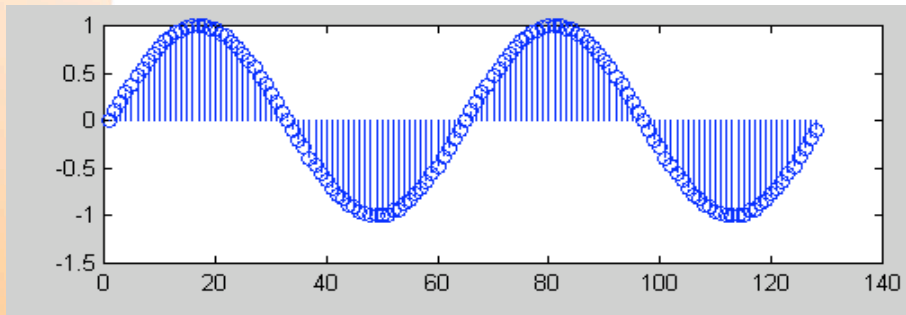
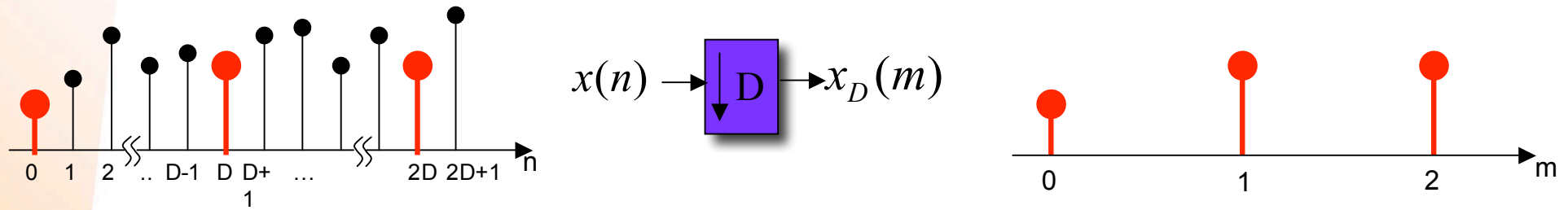
$$u_0(nM) = \sum_{p=0}^{P-1} h_{pM} x(nM - pM)$$

$$= \sum_{p=0}^{P-1} h_{pM} x((n - p)M)$$

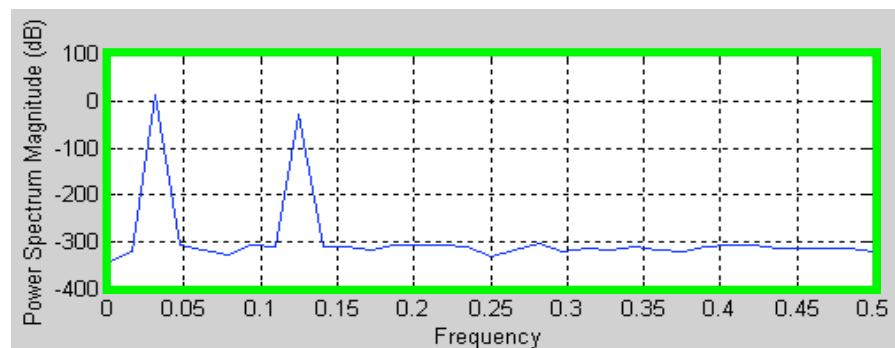
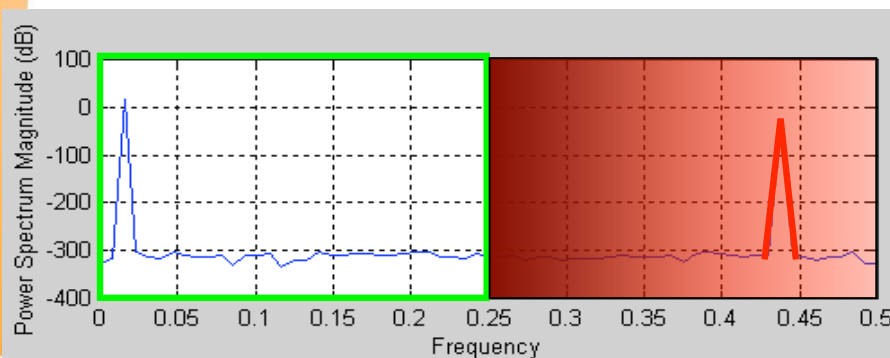


Conséquences d'une décimation

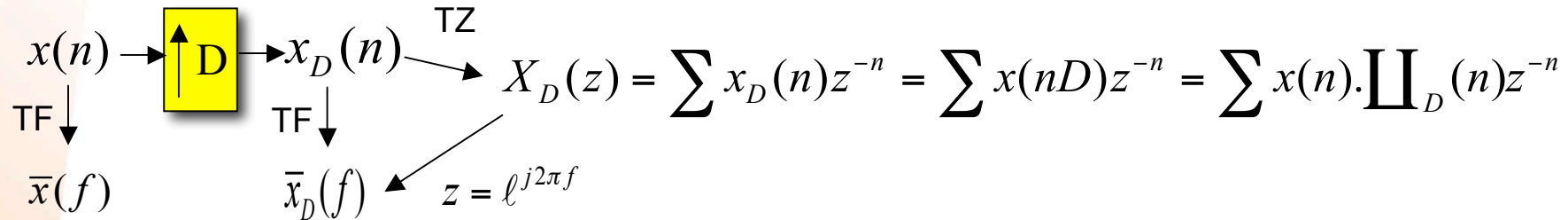
Aspect temporel



Aspect fréquentiel



Vue théorique du décimateur



$$\text{or } \text{II}_D(n) = \frac{1}{D} \sum_{k=0}^{D-1} \ell^{j2\pi \frac{k}{D}n}$$

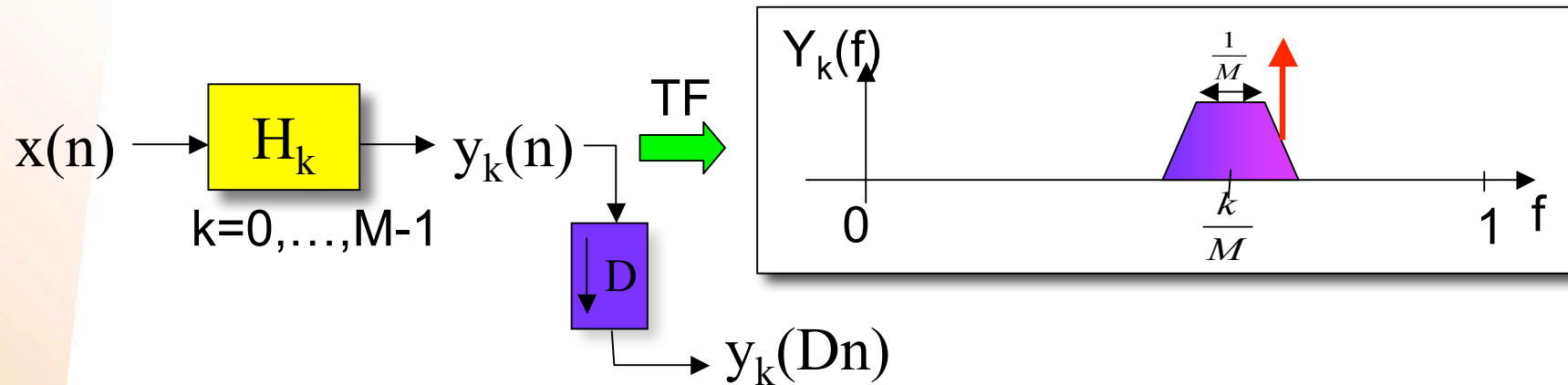
$$X_D(z) = \frac{1}{D} \sum_{k=0}^{D-1} \sum_n x(n) \cdot \ell^{j2\pi \frac{k}{D}n} z^{-n} = \frac{1}{D} \sum_{k=0}^{D-1} \sum_n x(n) \cdot \left[z \ell^{-j2\pi \frac{k}{D}} \right]^{-n} = \frac{1}{D} \sum_{k=0}^{D-1} X \left(z \ell^{-j2\pi \frac{k}{D}} \right)$$

Avec $X = Tz(x)$

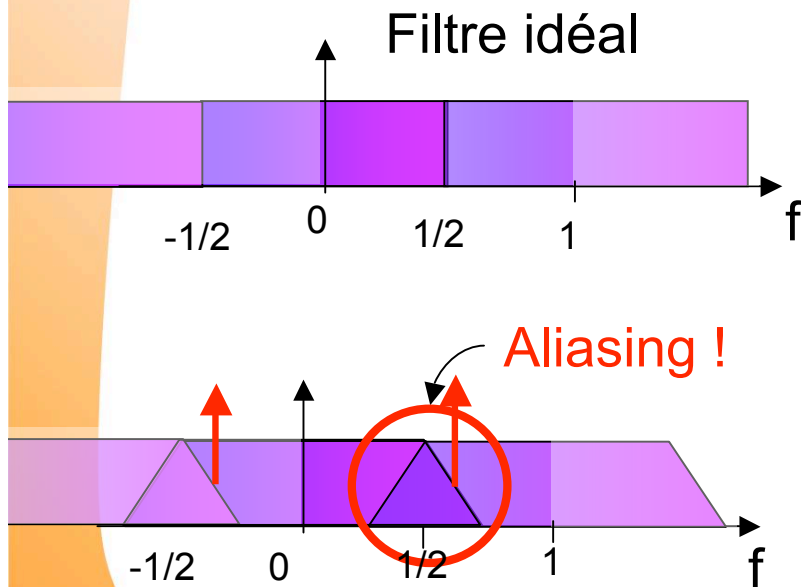
D'où

$$\bar{x}_D(f) = \frac{1}{D} \sum_{k=0}^{D-1} X \left(\ell^{j2\pi(f - \frac{k}{D})} \right) = \frac{1}{D} \sum_{k=0}^{D-1} \bar{x} \left(f - \frac{k}{D} \right)$$

Application au banc de filtres

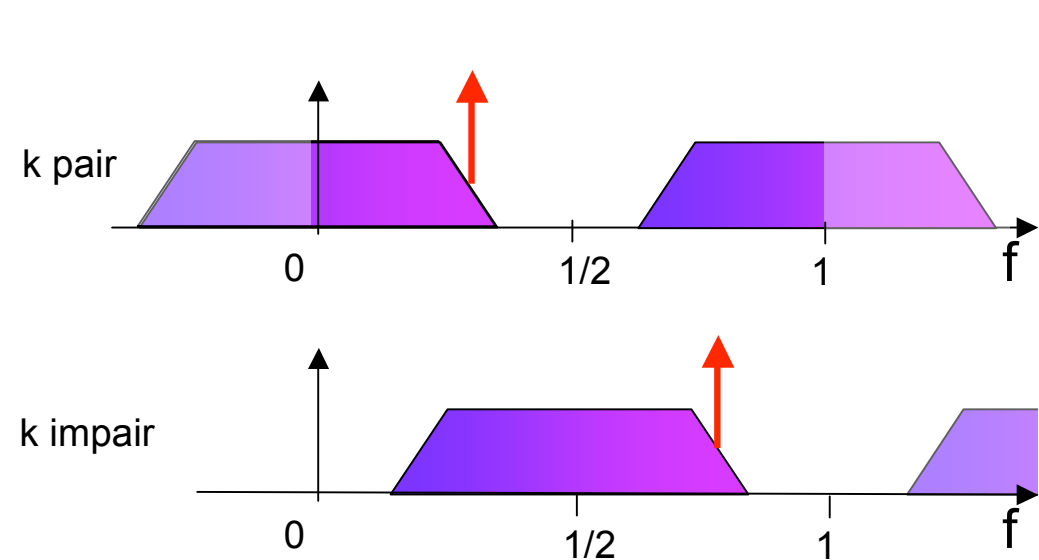


D=M : Décimation critique



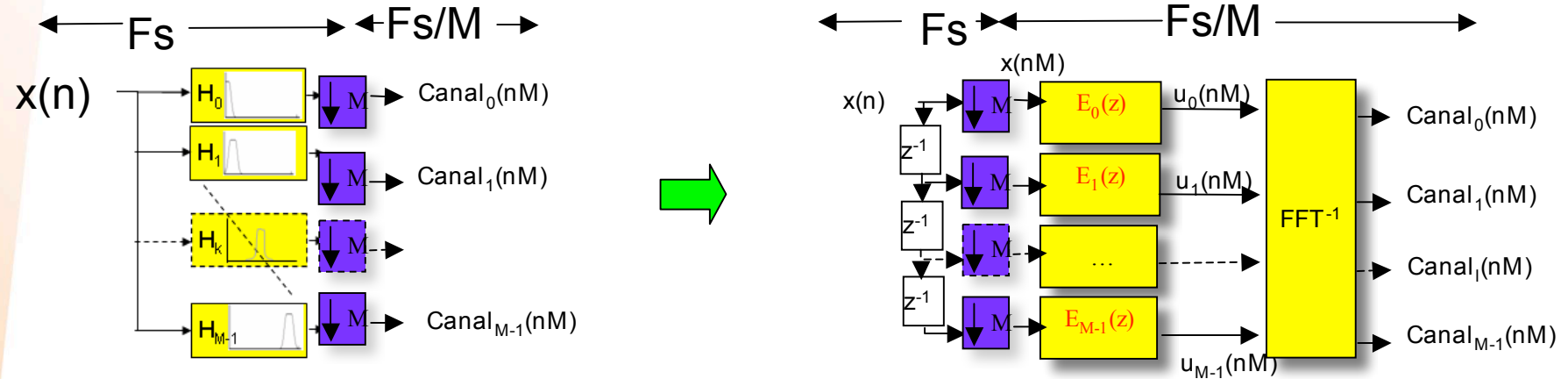
TF($y_k(Dn)$)

D=M/2 : Overlap 50%

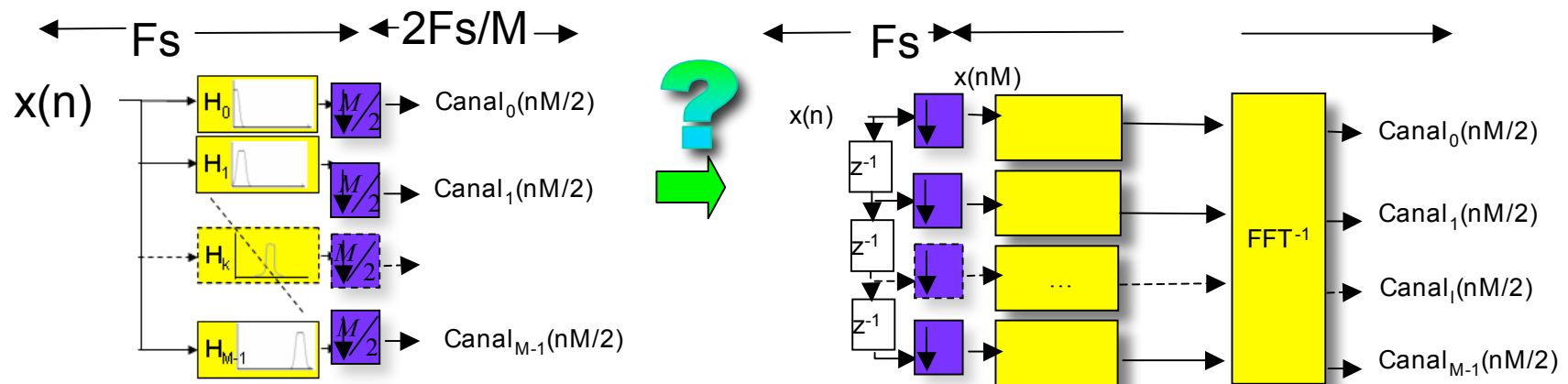


Résumé

Banc de filtres polyphases avec une décimation critique

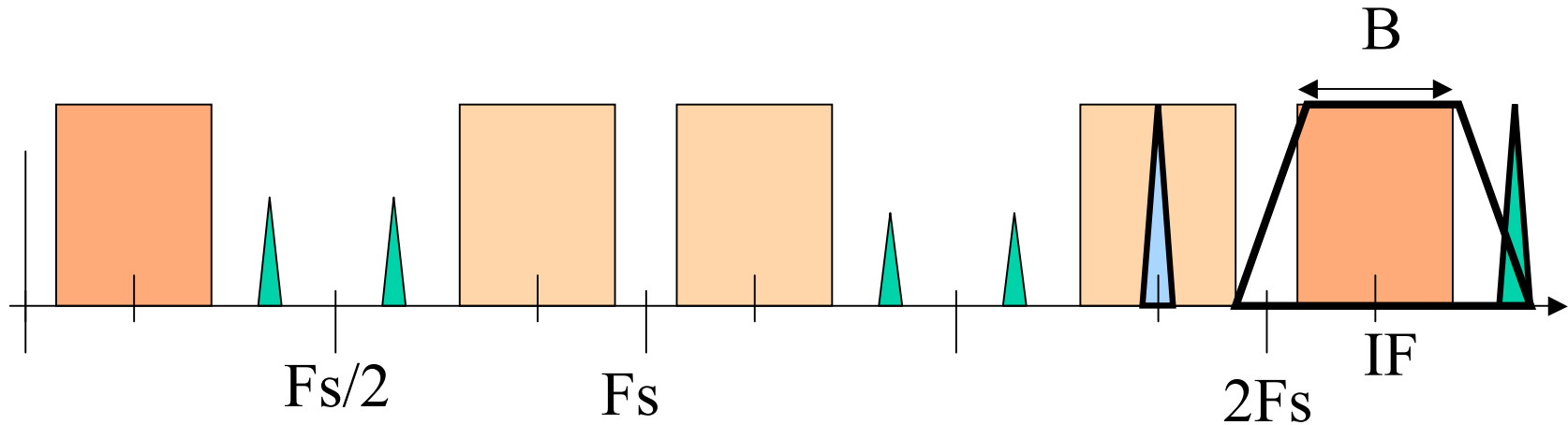


Banc de filtres polyphases avec un overlap de 50%



Récepteur Numérique

•1) Echantillonnage ou sous-échantillonnage



•2) Convertisseur numérique de fréquence

